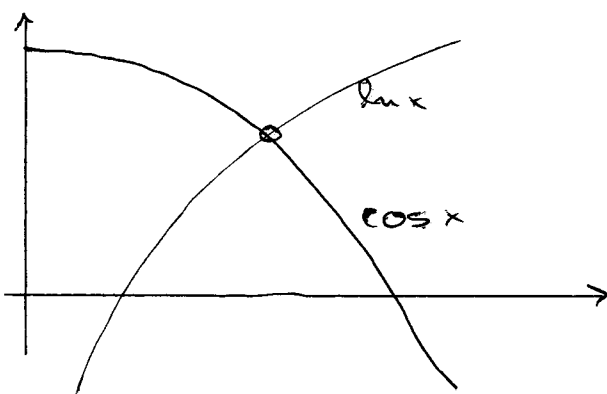


# Funktionen und Nullstelle

- Problem:
- Numerische Lösung von  $f(x) = 0$
  - 2 Funktionen:  $g(x)$ ,  $h(x)$ . Wie ist  $g(x) = h(x)$  zu lösen
  - Wie ist  $x = l(x)$  zu lösen (~~"Fixpunktgl."~~)

Beispiel:  $\cos x = \ln x$

graphisch:



Umformung:  $f(x) = \cos x - \ln x$   
 $\Rightarrow$  äquivalent zu  $f(x) = 0$

Umformung, Arccos anwenden  
 $\Rightarrow$  äquivalent zu  $x = \text{Arccos}(\ln x)$

Algorithmus für Fixpunkt:

- Anfangswert, z.B.  $x_0 = 1$       $l(x_0) = 1,5708$

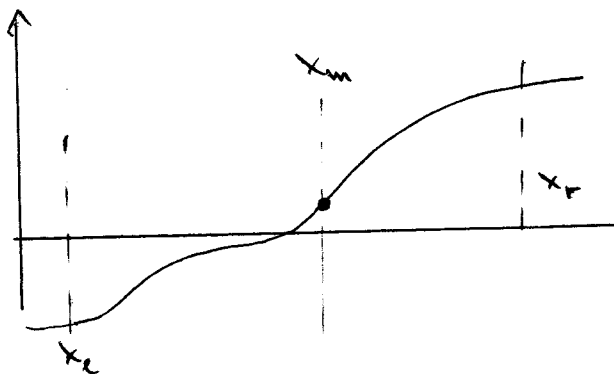
-  $x_1 = 1,5708$       $l(x_1) = 1,10226$

...  
 - Solange iterieren, bis Wert stabil. In diesem Fall etwa 50 Iterationen

Dieser Algorithmus ist nicht besonders effizient!

# Algorithmen für $f(x)=0$

## (1) Intervall-Halbierungsmethode (IHM)



Vor.: stetig, zwischen  
Schranken muss Nullstelle  
liegen

$$x_m = \frac{x_l + x_r}{2}$$

Intervall halbieren, mit dem korrekten Intervall  
wiederholen

Vorteile: einfach, konvergiert immer (sicher) vorausgesetzt  
Voraussetzungen sind erfüllt

Nachteile: - Anfangsintervallgrenze müssen gut gewählt werden,  
sonst ist der Algorithmus sehr langsam  
- ? Anfangswerte müssen bekannt sein

Analyse der Effizienz:

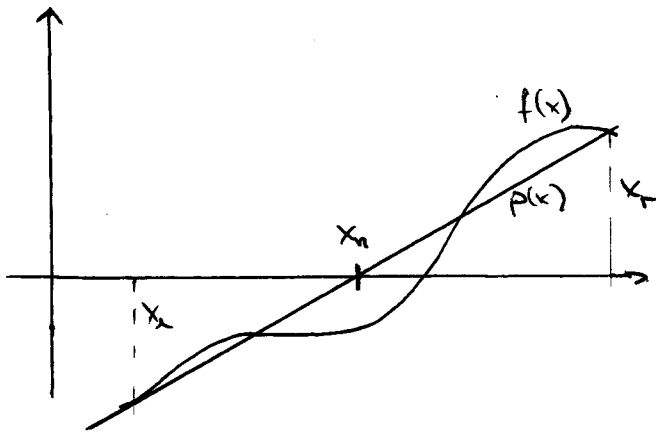
$2^{23} \approx 10 \Rightarrow$  IHM produziert etwa eine Dezimalstelle  
pro 3 Iterationen

Fehler ist die Breite des Intervalls ( $F_i = x_r^{(i)} - x_l^{(i)}$ )

Der Fehler wird bei jedem Schritt halbiert  $F_{i+1} = F_i / 2$

$\Rightarrow$  Konvergenzrate ist linear (langsam!)

## (2) Regula falsi



$$p(x) = c_1 x + c_2$$

$$p(x_1) = f(x_1)$$

$$p(x_2) = f(x_2)$$

$$p(x) = \frac{x-x_1}{x_2-x_1} f(x_2) + \frac{x-x_2}{x_1-x_2} f(x_1)$$

$$\text{Ziel: } p(x_n) \stackrel{!}{=} 0$$

$$\rightarrow x_n = \frac{x_1 f(x_2) - x_2 f(x_1)}{f(x_2) - f(x_1)}$$

Vorteil: kann im Vergleich zu IHM schneller konvergieren, muss aber nicht, wenn die Schranken zu weit sind, um eine lineare Näherung der Funktion zu rechtfertigen

Nachteil: ebenfalls zwei Anfangswerte benötigt

Für Fälle, in denen die Regula falsi nicht schnell genug konvergiert (Iterationen zählen) abbrechen und zu IHM zurückgehen

Erfinder: Leonardo von Pisa (~1200)

### (3) Newton - Raphson - Methode

Taylor - Reihe :  $f(x) = f(x_0) + (x-x_0) f'(x_0) + \dots$

$$f(x) \stackrel{!}{=} 0$$

$$\Rightarrow x = x_0 - \frac{f(x_0)}{f'(x_0)} \quad (\text{Fixpunktverfahren})$$

↑  
Näherungswert für die Nullstelle

↑  
Anfangswert

$$x_{i+1} = L(x_i)$$

Vorteil : relativ schnell , nur ein Anfangswert

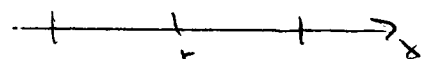
Nachteil : Ableitung muss bekannt sein  
Konvergenz nicht garantiert

23.10.06

• Konvergenz :

$$\text{Fixpunkt } r = L(r)$$

$$|x_{i+1} - r| = |L(x_i) - L(r)|$$



Im Intervall um  $r$ .

$$|L(x) - L(x')| \leq C |x - x'| \quad , \quad \text{mit } |L'(x)| \leq C$$

$$|x_{i+1} - r| \leq C |x_i - r| \\ \leq C^{i+1} |x_0 - r|$$

$C$  ist das Max. der Ableitung im Intervall

$$\lim_{i \rightarrow \infty} |x_{i+1} - r| = 0 \quad , \quad \text{wenn } C < 1$$

Konvergenz ist garantiert, wenn  $|L'(x)| < 1$  in Intervall

Wenn das Verfahren konvergiert, dann ist die Konvergenz quadratisch (Schnell)

• Konvergenzgeschwindigkeit

Maß für den Fehler:  $\varepsilon_i := r - x_i$

$$\varepsilon_{i+1} = \varepsilon_i + \frac{f(x_i)}{f'(x_i)}$$

Entwicklung:

$$f(x) = f(x_i) + f'(x)(x - x_i) + \frac{1}{2}(x - x_i)^2 f''(x_i)$$

$$f(x) \stackrel{!}{=} 0 \rightarrow x = r \rightarrow f(r) = -\varepsilon_i f'(x_i) - \frac{1}{2} \varepsilon_i^2 f''(x_i)$$

$$\varepsilon_{i+1} = \varepsilon_i - \frac{\varepsilon_i f'(x_i) + \frac{1}{2} \varepsilon_i^2 f''(x_i)}{f'(r)}$$

$$= -\frac{1}{2} \varepsilon_i^2 \frac{f''(x_i)}{f'(x_i)}$$

quadratische Konvergenz für  $\varepsilon_i < 1$  (nahe genug an der Nullstelle). Genauer:

Wenn  $\frac{f''}{f'}$  in der Nähe der Nullstelle fast konst. ist, dann ist der Fehler bei einer Iteration proportional zum Quadrat des Fehlers bei vorangegangener Iteration. Konvergenz ist quadratisch.

#### (4) Sekantenmethode

$$f'(x_i) = \frac{f(x_i) - f(x_{i-1})}{x_i - x_{i-1}}$$

verwende diese Formel für das Newton-Raphson-Verfahren

$$\rightarrow x_{i+1} = x_i - f(x_i) \frac{x_i - x_{i-1}}{f(x_i) - f(x_{i-1})}$$

Es wird keine Ableitung mehr benötigt, ausserdem dieselben Vor- und Nachteile wie NR-Verfahren

#### Kombination zweier Verfahren

Kombination von Halbierungs- und Sekanten-Methode wird als überlegenes Verfahren angesehen

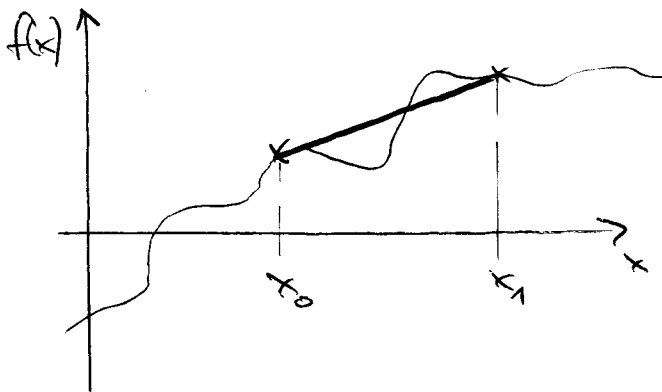
IHM : legt Schranke fest

Wenn Bedingungen für die Konvergenz der Sekanten-Methode gegeben sind :

S-Schritt : immer gemacht wenn der Wert innerhalb der Schranken liegt

# Interpolation und approximative Darstellung von Funktionen

## Lineare Interpolation



$$x_0 \leq x \leq x_1$$

Gerade Linie durch 2 Punkte :  $p(x) = c_1 x + c_2$

$$P(x) = \frac{x-x_1}{x_0-x_1} f(x_0) + \frac{x-x_0}{x_1-x_0} f(x_1)$$

$$P(x) = \sum_{k=0}^1 P_k^{(1)}(x) f(x_k) \quad ; \quad P_k^{(1)}(x) = \prod_{\substack{j=0 \\ j \neq k}}^1 \frac{x-x_j}{x_k-x_j}$$

## Lagrangesches Interpolationspolynom

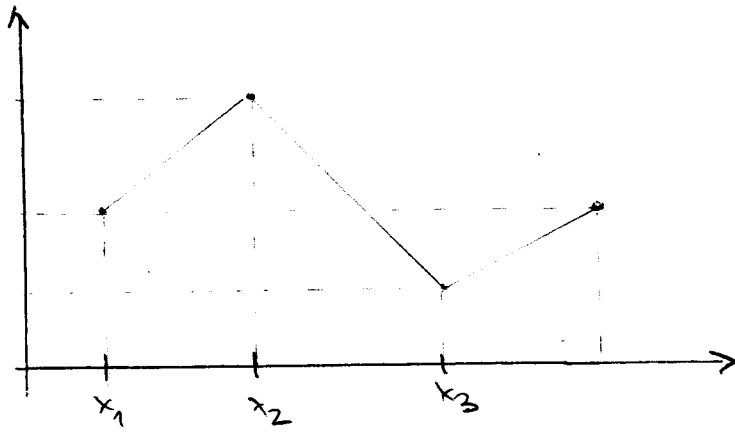
Verallgemeinerung der obigen Methode

Wenn  $(n+1)$  Punkte bekannt  $\rightarrow$  Polynom der Ordnung  $n$

$$P(x) = \sum_{k=0}^n P_k^{(n)}(x) f(x_k)$$

$$P_k^{(n)}(x) = \prod_{\substack{j=0 \\ j \neq k}}^n \frac{x-x_j}{x_k-x_j}$$

# kubische Splines



lineare Interpolation:  
nicht differenzierbar

⇒ kubische splines:  
Näherungsfunktion die  
stetige Ableitungen hat

$$x_i \leq x \leq x_{i+1} : p(x) = a_i (x-x_i)^3 + b_i (x-x_i)^2 + c_i (x-x_i) + d_i$$

$$f(x_i) \stackrel{!}{=} p(x_i) = d_i \quad (1) \quad h_i \equiv x_{i+1} - x_i$$

$$f(x_{i+1}) \stackrel{!}{=} p(x_{i+1}) \\ = a_i h_i^3 + b_i h_i^2 + c_i h_i + d_i \quad (2)$$

$$p'(x) = 3a_i (x-x_i)^2 + 2b_i (x-x_i) + c_i$$

$$p''(x) = 6a_i (x-x_i) + 2b_i$$

Notation  $p(x_i) = p_i$   
 $p'(x_i) = p'_i$

$$p''_i = 2b_i$$

$$p''_{i+1} = 6a_i h_i + 2b_i \rightarrow a_i = \frac{1}{6} \frac{p''_{i+1} - p''_i}{h_i}$$

aus 2:

$$c_i = \frac{p_{i+1} - p_i}{h_i} - \frac{1}{6} (h_i p''_{i+1} + 2h_i p''_i)$$

$$\rightarrow p(x) = p_i + \left[ \frac{p_{i+1} - p_i}{h_i} - \frac{h_i}{6} (p''_{i+1} + 2p''_i) \right] (x-x_i) \\ + \frac{1}{2} p''_i (x-x_i)^2 + \frac{1}{6} \frac{p''_{i+1} - p''_i}{h_i} (x-x_i)^3$$

Ableitungen müssen eliminiert werden!

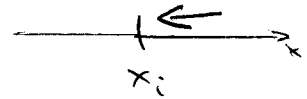


Benutzen: Ableitung soll stetig sein!

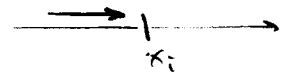
$$p'(x) = \frac{P_{i+1} - P_i}{h_i} - \frac{h_i}{6} (P_{i+1}'' + 2P_i'') + P_i'' (x - x_i) + \frac{1}{2} \frac{P_{i+1}'' - P_i''}{h_i} (x - x_i)^2 \quad (\square)$$

Betrachtung des Limes von rechts und links

$$P_i' = \frac{P_{i+1} - P_i}{h_i} - \frac{h_i}{6} (P_{i+1}'' + 2P_i'') \quad (*)$$



Ersetze  $i \rightarrow (i-1)$  in ~~(\*)~~  $(\square)$



$$x_{i-1} < x < x_i$$

$$p'(x) = \frac{P_i - P_{i-1}}{h_{i-1}} - \frac{h_{i-1}}{6} (P_i'' + 2P_{i-1}'') + P_{i-1}'' (x - x_{i-1}) + \frac{1}{2} \frac{P_i'' - P_{i-1}''}{h_{i-1}} (x - x_{i-1})^2$$

$$\rightarrow P_i' = \frac{P_i - P_{i-1}}{h_{i-1}} + \frac{1}{3} h_{i-1} P_i'' + \frac{1}{6} h_{i-1} P_{i-1}'' \quad (**)$$

$$(*) \stackrel{!}{=} (**)$$

$$h_{i-1} P_{i-1}'' + 2(h_i + h_{i-1}) P_i'' + h_i P_{i+1}'' = 6 \left( \frac{P_{i+1} - P_i}{h_i} - \frac{P_i - P_{i-1}}{h_{i-1}} \right) \quad i=2 \dots (n-1)$$

Insgesamt stehen  $(n-2)$  Gleichungen für  $n$  unbekannte  $P_i''$ .  
Es fehlen zwei Gleichungen, Lösung z. B. durch Spezifizieren von  $P_1'$  und  $P_n'$  (Ableitungen an den Rändern)



Wenn die Ableitungen an den Enden nicht bekannt sind:

$$P_1'' = P_n'' = 0 \quad (\text{"natürliche Splines"})$$

→ Näherungsfunktion ist linear an den Grenzen des Intervalls

Führt zu markanten Änderungen in der Matrix

Die Matrixgleichung ist nun zu lösen:

### Tridiagonale lineare Systeme

$$\begin{pmatrix} b_1 & c_1 & 0 & 0 & 0 \\ a_2 & b_2 & c_2 & 0 & \dots \\ 0 & a_3 & b_3 & c_3 & \\ 0 & \dots & & & \\ \vdots & & & & \end{pmatrix} \cdot \begin{pmatrix} x_1 \\ \vdots \\ x_n \end{pmatrix} = \begin{pmatrix} r_1 \\ \vdots \\ r_n \end{pmatrix}$$

Als Gleichungen geschrieben:

$$b_1 x_1 + c_1 x_2 = r_1$$

$$a_2 x_1 + b_2 x_2 + c_2 x_3 = r_2$$

$$a_3 x_2 + b_3 x_3 + c_3 x_4 = r_3$$

...

Einfacher Fall für das Gauß-Jordan-Verfahren

nach einem Schritt:

$$\begin{aligned} b_1 x_1 + c_1 x_2 &= r_1 e_1 \\ \underbrace{\left( b_2 - \frac{a_2}{b_1} c_1 \right)}_{\beta_2} x_2 + c_2 x_3 &= \underbrace{r_2 - \frac{a_2}{b_1} r_1}_{e_2} \\ a_3 x_2 + b_3 x_3 + c_3 x_4 &= r_3 \end{aligned}$$

nach zweiten Schritt:

$$\begin{aligned} \beta_1 x_1 + c_1 x_2 &= e_1 \\ \beta_2 x_2 + c_2 x_3 &= e_2 \\ \left( b_3 - \frac{a_3}{\beta_2} c_2 \right) x_3 + c_3 x_4 &= \underbrace{r_3 - \frac{a_3}{\beta_2} e_2}_{e_3} \end{aligned}$$

... usw.

Allgemein

$$\beta_j = b_j - \frac{a_j}{\beta_{j-1}} c_{j-1}$$

$$e_j = r_j - \frac{a_j}{\beta_{j-1}} e_{j-1} \quad j = 2 \dots n$$

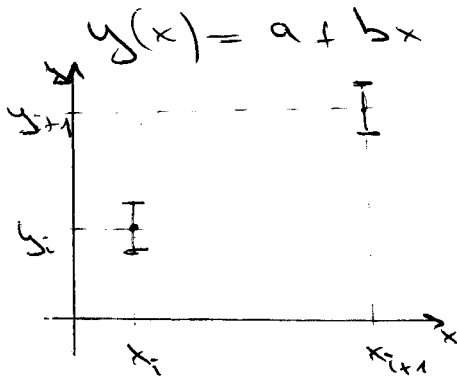
$$x_n = e_n / \beta_n$$

$$x_{n-1} = (e_{n-1} - c_{n-1} x_n) / \beta_{n-1}$$

$$x_{n-j} = (e_{n-j} - c_{n-j} x_{n-j+1}) / \beta_{n-j} \quad j = 1 \dots n-1$$

# Least-Square-Fit

- linear Regression



$y_i \pm \sigma$ ,  $\sigma$ : Standardabweichung

minimiere:  $\bar{\chi}^2 = \sum_{i=1}^n [y_i - y(x_i)]^2$

$$\frac{\partial \bar{\chi}^2}{\partial a} = 0 \quad , \quad \frac{\partial \bar{\chi}^2}{\partial b} = 0$$

$$\rightarrow - \sum_{i=1}^n 2 (y_i - a - bx_i) = 0$$

$$, \quad \frac{\partial^2 \bar{\chi}^2}{\partial a^2} = \sum_{i=1}^n 2 > 0$$

$$- \sum_{i=1}^n 2 (y_i - a - bx_i) x_i = 0$$

$$, \quad \frac{\partial^2 \bar{\chi}^2}{\partial b^2} = \sum_{i=1}^n 2x_i^2 > 0$$

$$an + b \sum_i x_i = \sum_i y_i$$

$$a \sum_i x_i + b \sum_i x_i^2 = \sum_i y_i x_i$$

wir definieren:  $S = \sum_{i=1}^n 1 = n$

$$S_x = \sum_{i=1}^n x_i \quad S_y = \sum_{i=1}^n y_i$$

$$S_{xx} = \sum_{i=1}^n x_i^2 \quad S_{xy} = \sum_{i=1}^n x_i y_i$$

$$\rightarrow aS + bS_x = S_y$$

$$aS_x + bS_{xx} = S_{xy}$$

$$\rightarrow a = \frac{S_{xx}S_y - S_x S_{xy}}{S S_{xx} - S_x^2}$$

$$b = \frac{S S_{xy} - S_x S_y}{S S_{xx} - S_x^2}$$

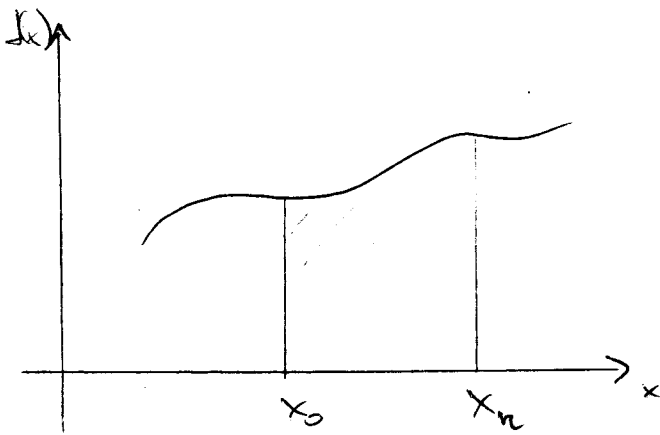
wenn  $\sigma$  nicht konstant ist:

$$\chi^2 = \sum_{i=1}^n \left[ \frac{y_i - g(x_i)}{\sigma_i} \right]^2$$

$$\rightarrow S = \sum_{i=1}^n \frac{1}{\sigma_i^2} \quad S_x = \sum_{i=1}^n \frac{x_i}{\sigma_i^2} \quad S_y = \sum_{i=1}^n \frac{y_i}{\sigma_i^2} \quad \text{usw.}$$

# Numerische Integration

2.14.00



$$I = \int_{x_0}^{x_n} dx f(x)$$

Strategie: Wähle  $n+1$  Stützstellen, werte dort Funktion aus und lege ein Polynom  $n$ -ten Grades durch die Funktion (Lagrangesches Interpolationspolynom)  
 $f_i = f(x_i)$

$$f(x) \rightarrow p(x) = \sum_k P_k^{(n)}(x) f_k$$

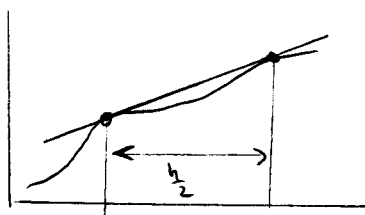
$$I = \int_{x_0}^{x_n} dx p(x) = \sum_{k=0}^n w_k f_k \quad w_k = \int_{x_0}^{x_n} dx P_k^{(n)}(x)$$

Wir nehmen äquidistante Stützstellen der Schrittweite  $h$  an.

$$x_k = x_0 + kh \quad \rightarrow \quad h = \frac{x_n - x_0}{n} \quad , \quad h < 1$$

Beispiele:

$n=1$



$$p(x) = \frac{x-x_1}{x_0-x_1} f(x_0) + \frac{x-x_0}{x_1-x_0} f(x_1)$$

$$\rightarrow w_0 = \int_0^x dx \frac{x-x_1}{x_0-x_1} = \frac{h}{2}$$

$$w_1 = \int_0^x dx \frac{x-x_0}{x_1-x_0} = \frac{h}{2}$$

$$\int_{x_0}^{x_1} dx f(x) = \frac{h}{2} (f_0 + f_1) + O(h^3)$$

$\uparrow$   $\int_{x_0}^{x_1} dx x^2 \sim h^3$

Trapez-  
regel

$$\boxed{n=2} \quad p(x) = \frac{(x-x_1)(x-x_2)}{(x_0-x_1)(x_0-x_2)} f_0 + \frac{(x-x_0)(x-x_2)}{(x_1-x_0)(x_1-x_2)} f_1 + \frac{(x-x_0)(x-x_1)}{(x_2-x_0)(x_2-x_1)} f_2$$

$$w_0 = \int_{x_0}^{x_2} dx \frac{(x-x_1)(x-x_2)}{(x_0-x_1)(x_0-x_2)} = \frac{1}{3}h = w_2$$

$$w_1 = \int_{x_0}^{x_2} dx \frac{(x-x_0)(x-x_2)}{(x_1-x_0)(x_1-x_2)} = \frac{4}{3}h$$

$$\boxed{\int_{x_0}^{x_2} dx f(x) = \frac{h}{3} (f_0 + 4f_1 + f_2) + O(h^5)}$$

Simpsonsche  
Eindrittel-Regel

$$O(h^5): \int_{x_0}^{x_2} dx x^3 = \frac{1}{4} [(x_0 + 2h)^4 - x_0^4] - \frac{1}{3} x_0^4$$

$$= \frac{h}{3} [x_0^3 + 4(x_0+h)^3 + (x_0+2h)^3]$$

Für  $f(x) = x^3$  ist die Formel "zufällig" immer noch richtig!

$$\boxed{n=3}$$

$$p(x) = \frac{(x-x_1)(x-x_2)(x-x_3)}{(x_0-x_1)(x_0-x_2)(x_0-x_3)} f_0 + \frac{(x-x_0)(x-x_2)(x-x_3)}{(x_1-x_0)(x_1-x_2)(x_1-x_3)} f_1 + \dots$$

$$w_0 = \frac{3}{8}h$$

$$w_1 = \frac{9}{8}h$$

$$\rightarrow \boxed{\int_{x_0}^{x_3} dx f(x) = \frac{3}{8}h (f_0 + 3f_1 + 3f_2 + f_3) + O(h^5)}$$

Simpsonsche Dreieckregel

Kein besseres Ergebnis als bei der Eindrittel-Regel



# n=4 | Boolesche Regel

... höhere Ordnungen

⇒ "Newton-Cotes-Formeln"

Die einfache Trapezregel und die Simpsonsche Regel werden als Bausteine benutzt indem das Integrationsintervall in  $N$  gleiche Teile zerlegt werden und wiederholt die Regel angewendet werden

~~Regel~~

$$\begin{aligned} \bullet \int_a^b dx f(x) &= \frac{h}{2} (f_0 + f_1) + \frac{h}{2} (f_1 + f_2) \\ &\quad + \dots + \dots \\ &\quad + \frac{h}{2} (f_{n-1} + f_n) \\ &= h \left( \frac{1}{2} f_0 + f_1 + f_2 + \dots + \frac{1}{2} f_n \right) \end{aligned}$$

(Trapezregel)

$$\begin{aligned} \bullet \int_a^b dx f(x) &= \frac{h}{3} (f_0 + 4f_1 + f_2) + \frac{h}{3} (f_2 + 4f_3 + f_4) + \dots \\ &= \frac{h}{3} (f_0 + 4f_1 + 2f_2 + 4f_3 + \dots + 2f_{2n-2} \\ &\quad + 4f_{2n-1} + f_{2n}) \end{aligned}$$

(Simpsonsche Regel)

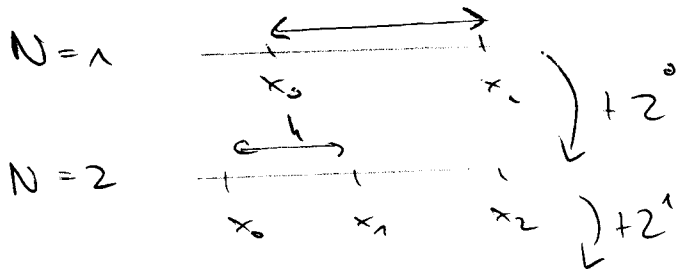
## Betrachtung des Fehlers:

- Trapezregel: jeder Schritt hat einen Fehler  $O(h^3) \sim O(N^3)$   
→ Gesamtfehler:  $O(N^2)$
- Simpsonsche Regel: jeder Schritt hat einen Fehler  $O(h^5)$   
→ Gesamtfehler:  $O(N^{-4})$

Durch wiederholtes Halbieren der Teilintervalle kann eine gewünschte Genauigkeit erreicht werden.

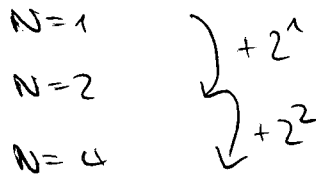
### Halbierung

- Trapezregel ..



solange sich die Genauigkeit erhöht

- Simpsonsche Regel:



um 1 verdoben

7.11.06

Gaußsche Integralformeln / Quadraturformeln

- konvergieren schneller mit der Zahl der Funktionsaufträge
- wichtiger Bestandteil: orthogonale Polynome

Wir betrachten das Intervall  $[-1, 1]$   $\xrightarrow{\text{Variable transit.}}$   $[a, b]$   
 orthogonale Polynome auf  $[-1, 1]$ : Legendre-Polynome  
 entstanden durch orthogonalisierung der Potenzen  $x^0, x^1, x^2, \dots$   
 auf dem Intervall  $[-1, 1]$

Orthogonalitätsrelation:  $\int_{-1}^1 dx P_n(x) P_m(x) = \frac{2}{2n+1} \delta_{nm}$

$P_0 = 1$      $P_1 = x$      $P_2 = \frac{1}{2}(3x^2 - 1)$      $P_n = \frac{1}{2^n n!} \frac{d^n}{dx^n} (x^2 - 1)^n$

Wir wollen, dass

$$\int_{-1}^1 dx f(x) = \sum_{i=0}^{n-1} w_i f_i \quad ; \quad f_i = f(x_i) \quad (0)$$

soll bei dieser Methode exakt gelten für ein Polynom  
 vom Grad  $(2n-1)$  (ist exakt bestimmt da  $n$  Stützstellen  $x_i$   
 und  $n$  Gewichte  $w_i \Rightarrow 2n$  Koeffizienten)

$f(x)$ : Polynom vom Grad  $(2n-1)$  (Polynomdivision)

$$f(x) = q^{(2n-1)}(x) P_n(x) + r^{(n-1)}(x)$$

Beispiel:  $f(x) = 3x^3 - 6x - 2$  ,  $2n-1 = 3 \rightarrow n=2$

$$P_2(x) = \frac{1}{2}(3x^2 - 1)$$

$$\Rightarrow f(x) = \underbrace{2x}_{q^{(2)}} P_2(x) - \underbrace{5x - 2}_{r^{(1)}}$$

Einsetzen:

$$\int_{-1}^1 dx f(x) = \int_{-1}^1 dx q^{(n-1)}(x) P_n(x) + \int_{-1}^1 dx r^{(n-1)}(x)$$

$\{P_n\}$  bilden ein vollständiges System:

$$q^{(n-1)}(x) = \sum_{i=0}^{n-1} q_i P_i(x) \quad \begin{array}{l} \text{Entwicklung in} \\ \text{Legendrepolynomen} \end{array}$$

$\uparrow$  konst

$$\int_{-1}^1 dx q^{(n-1)}(x) P_n(x) = \sum_{i=0}^{n-1} q_i \int_{-1}^1 dx P_i(x) P_n(x)$$

$$\stackrel{*}{=} 0$$

\* orthogonal.

$$\Rightarrow \int_{-1}^1 dx q^{(n-1)}(x) P_n(x) = \sum_{i=0}^{n-1} w_i q^{(n-1)}(x_i) P_n(x_i) = 0$$

$\rightarrow$   ~~Basis~~

$f(x)$  zwar von Grad  $(2n-1)$ , sonst beliebig

$$\rightarrow q^{(n-1)} \quad \text{---} \quad (n-1) \quad \text{---} \quad \dots \quad \text{---}$$

$$\Rightarrow P_n(x_i) \stackrel{!}{=} 0 \quad ; \quad i = 0 \dots n-1$$

es müsse die Nullstellen des Legendrepolynoms bestimmt werden

$w_i$  wähle also als Stützstellen die Nullstelle von  $P_n(x)$

Kontrolle:

$$\int_{-1}^1 dx f(x) = 0 + \int_{-1}^1 dx r^{(n-1)}(x) = \sum_{i=0}^{n-1} \omega_i f(x_i) \\ = \sum_{i=0}^{n-1} f_i \quad \checkmark$$

Zur Erinnerung: Lagrangesches Interpolationspolynom

$$p(x) = \sum_{k=0}^{n-1} P_k^{(n-1)}(x) f(x_k) \quad ; \quad P_k^{(n-1)}(x) = \prod_{\substack{j=0 \\ j \neq k}}^{n-1} \frac{x - x_j}{x_k - x_j}$$

$$P_k^{(n-1)}(x_k) = \delta_{ki}$$

(□) anwenden:

$$\int_{-1}^1 dx P_k^{(n-1)}(x) = \sum_{i=0}^{n-1} \omega_i P_k^{(n-1)}(x_i) \\ = \sum_{i=0}^{n-1} \omega_i \delta_{ki} = \omega_k$$

$$\int_{-1}^1 dx P_k^{(n-1)}(x) = \omega_k \quad \text{damit sind nun auch} \\ \text{die Gewichte bekannt}$$

Beispiel:  $n=2$  Funktionsaufgabe:

$$\int_{-1}^1 dx f(x) = \sum_{i=0}^1 \omega_i f_i \quad ; \quad x_i \text{ Nullstelle von } P_2(x) \\ x_0, x_1 = \pm \sqrt{\frac{1}{3}}$$

$$\omega_0 = \int_{-1}^1 dx P_0^{(2)}(x) = \int_{-1}^1 dx \frac{x - x_1}{x_0 - x_1} = 1$$

$$\omega_1 = \omega_0 = 1$$

$$\Rightarrow \int_{-1}^1 dx f(x) = f\left(-\frac{1}{\sqrt{3}}\right) + f\left(\frac{1}{\sqrt{3}}\right)$$

Konvergenz: Fehler:  $\int_a^b dx x^n \sim h^{2n+1}$  ( $h = \text{Intervallbreite} < 1$ )

$N$  Abschnitte mit  $h = \frac{b-a}{N}$

Gesamtfehler  $\sim O(N^{-2n})$

$n=10$  kein Problem

$\Rightarrow$  sehr schnelle Konvergenz

$$P_n(x) = \frac{1}{2^n n!} \frac{d^n}{dx^n} (x^2 - 1)^n$$

Betrachte führende Term

$$\frac{d^n}{dx^n} x^{2n} = \frac{(2n)!}{n!} x^n$$

$$\frac{2^n (n!)^2}{(2n)!} P_n(x) = (x-x_0)(x-x_1) \dots (x-x_{n-1}) = \pi(x)$$

$$\rightarrow \pi(x) = \prod_{i=0}^{n-1} (x-x_i) \quad , \quad \pi'(x_k) = \prod_{\substack{i=0 \\ i \neq k}}^{n-1} (x_k - x_i)$$

$$P_k^{(n-1)}(x) = \frac{\pi(x)}{\pi'(x) (x-x_k)}$$

$$\text{Rekursion: } (2i+1)x P_i(x) = (i+1) P_{i+1}(x) + i P_{i-1}(x)$$

$$\text{Rekursion: } (2i+1) \times P_i(x) P_i(t) = (i+1) P_{i+1}(x) P_i(t) + i P_{i-1}(x) P_i(t)$$

( $t \leftrightarrow x$ )

$$\frac{(2i+1) P_i(x) P_i(x) + i P_{i-1}(x) P_i(x)}{(2i+1)}$$

$$\frac{(2i+1)(1-x^2) P_i(x)}{(2i+1)}$$

...

$$\Rightarrow I = -\frac{2}{n+1} \frac{1}{P_{n+1}(x_k)}$$

Nachmal Rekursionsrelation mit  $x = x_k$  verwenden

$$\Rightarrow w_k = \int_{-1}^1 dx \frac{P_n(x)}{P_n'(x_k)(x-x_k)} = \frac{2}{n} \frac{1}{P_n'(x_k) P_{n-1}(x_k)}$$

eine, zweite, äquivalente Formel, unter Verwendung der Rekursionsrelation

$$(1-x^2) P_n'(x) = -n x P_n(x) + n P_{n-1}(x)$$

$$x = x_k : (1-x_k^2) P_n'(x_k) = 0 + n \cdot P_{n-1}(x_k)$$

ist:

$$w_k = \frac{2}{(1-x_k^2) [P_n'(x_k)]^2}$$

Große Einschränkung: nur im Intervall  $[-1, 1]$

Allgemeiner:

$$\int_a^b dx \, w(x) f(x) = \sum_{i=0}^{n-1} w_i f_i$$

↑ positive Gewichtsfunktion

$\{\phi_n\}$  bilden vollst. System auf  $[a, b]$

Orthogonalitätsrelation

$$\int_a^b dx \, w(x) \phi_n(x) \phi_m(x) = c_n \delta_{nm}$$

... selbe Herleitung wie für die Hermite polynome...

→ Stützstellen  $x_i$ : Nullstellen von  $\phi_n(x)$

$$\text{Gewichte: } w_i = \int_a^b dx \, w(x) P_i^{(u-1)}(x)$$

meist genutzte Quadraturformeln

$$1) \, w(x) = e^{-x}, \quad I = \int_0^{\infty} dx \, e^{-x} f(x)$$

relev. Polynome: Laguerre - Polynome  $L_n(x)$

$$L_n(x) = \frac{e^x}{n!} \frac{d^n}{dx^n} (e^{-x} x^n), \quad L_0(x) = 1, \quad L_1(x) = 1 - x$$

$$L_2 = \frac{1}{2} (x^2 - 4x + 2)$$

Orthogonalitätsrelation:  $\int_0^{\infty} dx \, e^{-x} L_n(x) L_m(x) = \delta_{nm}$

Rekursionsrelation:  $(n+1) L_n(x) = (2n+1-x) L_n(x) - n L_{n-1}(x)$

$$w_k = \frac{(n!)^2}{x_k [L_n'(x_k)]^2}$$



$$2) \omega(x) = e^{-x^2}$$

$$I = \int_{-\infty}^{+\infty} dx e^{-x^2} f(x)$$

relevante Polynome: Hermite - Polynome  $H_n(x)$

$$H_n(x) = (-1)^n e^{x^2} \frac{d^n}{dx^n} (e^{-x^2}) \quad H_0 = 1, H_1 = 2x,$$

$$H_2 = 4x^2 - 2$$

Orthogonalitätsrelation:

$$\int_{-\infty}^{\infty} dx e^{-x^2} H_n(x) H_m(x) = \sqrt{\pi} 2^n n! \delta_{nm}$$

Rekursionsrelation:

$$H_{n+1}(x) = 2x H_n(x) - 2n H_{n-1}(x)$$

$$3) \omega(x) = \frac{1}{\sqrt{1-x^2}}$$

$$I = \int_{-1}^1 dx \frac{1}{\sqrt{1-x^2}} f(x)$$

relevante Polynome: Chebyshev - Polynome  $T_n(x)$

$$T_n(x) = \cos(n \arccos x) \quad T_n(\cos \theta) = \cos(n \theta)$$

$$T_0 = 1 \quad T_1 = x \quad T_2 = 2x^2 - 1$$

$$\text{Orthogonalitätsrelation} = \int_{-1}^1 dx \frac{1}{\sqrt{1-x^2}} T_n(x) T_m(x) = \begin{cases} \frac{1}{2} \delta_{nm} \\ \pi, m=n=0 \end{cases}$$

$$\text{Rekursionsrelation: } T_{n+1}(x) = 2x T_n(x) - T_{n-1}(x)$$

# Approximation von Ableitungen

14.11.06

$$f'(x) = \lim_{h \rightarrow 0} \frac{f(x+h) - f(x)}{h}$$

$$f(x+h) = f(x) + h f'(x) + \frac{h^2}{2} f''(x) + \dots \quad (\square)$$

$$\leadsto f'(x) = \frac{1}{h} \left[ f(x+h) - f(x) - \frac{h^2}{2} f''(x) + \dots \right] \quad (*)$$

$$= \frac{1}{h} \left[ f(x+h) - f(x) \right] + O(h)$$

↑ aufsteigende Differenz

ebenso:  $h \rightarrow -h$

$$\leadsto f(x-h) = f(x) - h f'(x) + \frac{h^2}{2} f''(x) + \dots \quad (\square\square)$$

$$f'(x) = \frac{1}{h} \left[ f(x) - f(x-h) + \frac{h^2}{2} f''(x) + \dots \right] \quad (**)$$

$$= \frac{1}{h} \left[ f(x) - f(x-h) \right] + O(h)$$

↑ absteigende Differenz

(\*) + (\*\*):

$$2f'(x) = \frac{1}{h} \left[ f(x+h) - f(x) + f(x) - f(x-h) \right] + O(h^2)$$

$\leadsto f'(x) = \frac{f(x+h) - f(x-h)}{2h} + O(h^2)$	3-Punkte-Formel
--	-----------------

- generell: Symmetrische Ausdrücke sind genauer als unsymmetrische

$$f'' : (\square) + (\square)$$

$$\approx f(x+h) + f(x-h) = 2f(x) + h^2 f''(x)$$

$$\Rightarrow f''(x) = \frac{f(x+h) - 2f(x) + f(x-h)}{h^2} + O(h^2)$$

- Fehler weiter reduzieren durch mehr Funktionsaufrufe:

$$f'(x) = \frac{f(x+h) - f(x-h)}{2h} - \frac{h^2}{6} f'''(x) + \dots \quad (+)$$

Schrittweite verdoppeln

$$f'(x) = \frac{f(x+2h) - f(x-2h)}{4h} - \frac{4h^2}{6} f'''(x) \quad (++)$$

↑ Fehler viermal so groß

$$(+) - \frac{1}{4}(++):$$

$$\frac{3}{4} f'(x) = \frac{8f(x+h) - 8f(x-h) - f(x+2h) + f(x-2h)}{16} + O(h^4)$$

→ 5-Punkte-Formel

ebenso:

$$f''(x) = \frac{-f(x-2h) + 16f(x-h) - 30f(x) + 16f(x+h) - f(x+2h)}{12h^2} + O(h^4)$$

## Lineare Gleichungen

$$A \cdot \vec{x} = \vec{b}, \quad A = \begin{pmatrix} & & & 0 \\ & & & \\ & & & \\ 0 & & & \end{pmatrix}$$

$$\rightarrow \text{Gaußelimination} \rightarrow \begin{pmatrix} & & & 0 \\ & & & \\ & & & \\ 0 & & & \end{pmatrix}$$

- Lösung durch Rücksubstitution
- Gaußelimination kann generell angewendet werden zur Lösung von Gleichungssystemen

$A \cdot \vec{x} = \vec{b}$  wird schrittweise in ein oberes Dreieckssystem  $R \cdot \vec{x} = \vec{c}$  umgeformt. Lösung erhält man durch Rücksubstitution. Zur Verfügung steht:

- Gleichungen vertauschen
- Vielfache einer Gl. zu einer anderen addieren

Angepunkt hier: "Vielfache":

Beispiel:

$$\begin{array}{l} 1. \text{ Gl.: } a_{11}x_1 + a_{12}x_2 + \dots + a_{1n}x_n = b_1 \\ i. \text{ Gl.: } a_{i1}x_1 + a_{i2}x_2 + \dots + a_{in}x_n = b_i \end{array} \quad \left| \begin{array}{l} * \frac{a_{i1}}{a_{11}} \\ \frac{a_{i1}}{a_{11}} \end{array} \right.$$

Um die Rechenungehrlichkeit zu minimieren, muss betragsmäßig größtes Element anstatt von  $a_{11}$  benutzt werden.

→ Pivotelement:  $|a_{ii}| \max_{1 \leq i \leq n} |a_{ii}|$

Diesen Schritt nennt man Pivotsuche

Der gesamte Prozess heißt Teil/Spaltenpivotierung

**Gauß-Elimination wie ohne Pivotierung!**

Beispiel:

$$\left. \begin{array}{l} 10^{-5} x_1 + x_2 = 1 \\ x_1 + x_2 = 2 \end{array} \right\} x_1 \approx x_2 \approx 1$$

angenommen der Computer arbeitet mit einer Genauigkeit von 4 Dezimalstellen.

ohne Pivotierung:  $\text{II} - 10^{+5} \text{I}$ :

$$(1 - 10^5) x_2 = 2 - 10^5 \xrightarrow{\text{PC}} -10^5 x_2 = -10^5 \\ \Rightarrow x_2 = 1 \quad \checkmark$$

$$10^{-5} x_1 + 1 = 1 \xrightarrow{\text{PC}} x_1 = 0 \quad \times$$

mit Pivotierung:  $(\text{I} \leftrightarrow \text{II})$ :  $x_2 + x_1 = 2$   
 $10^{-5} x_1 + x_2 = 1$

$$(1 - 10^{-5}) x_2 = 1 - 2 \cdot 10^{-5}$$

$$\Rightarrow x_2 = 1 \quad \checkmark$$

$$x_1 + 1 = 2$$

$$\Rightarrow x_1 = 1 \quad \checkmark$$

→ Funktioniert aber auch nicht immer, da nur Teilpivotierung!

Implizite Pivotierung:

1. Schritt: Größter Eintrag der  $i$ -ten Zeile bestimmen

$$|a_{i\ell}| = \max_{1 \leq j \leq n} |a_{ij}|$$

und dividieren alle Einträge  $a_{ij}$  durch  $|a_{i\ell}|$

16.11.06

### Gauß-Jordan - Elimination

Beispiel:

$$\begin{aligned} x + y + z &= 6 \\ 2x - y + z &= 3 \\ 3x + 2y - z &= 4 \end{aligned}$$

$\leadsto$  erweiterte Matrix  $\begin{pmatrix} 1 & 1 & 1 & 6 \\ 2 & -1 & 1 & 3 \\ 3 & 2 & -1 & 4 \end{pmatrix}$

$$\begin{aligned} \frac{1}{3}r_1 &\rightarrow \begin{pmatrix} 1 & 2/3 & -1/3 & 4/3 \\ 2 & -1 & 1 & 3 \\ 3 & 2 & -1 & 4 \end{pmatrix} & \begin{matrix} r_2 - 2r_1 \\ r_3 - r_1 \end{matrix} \rightarrow \begin{pmatrix} 1 & 2/3 & -1/3 & 4/3 \\ 0 & -7/3 & 5/3 & 1/3 \\ 0 & 1/3 & 2/3 & 14/3 \end{pmatrix} \end{aligned}$$

$$\begin{aligned} -\frac{3}{7}r_2 &\rightarrow \begin{pmatrix} 1 & 2/3 & 1/3 & 4/3 \\ 0 & 1 & -5/7 & -1/7 \\ 0 & 1/3 & 4/3 & 14/3 \end{pmatrix} & \begin{matrix} r_1 - \frac{2}{3}r_2 \\ r_3 - \frac{1}{3}r_2 \end{matrix} \rightarrow \begin{pmatrix} 1 & 0 & 1/2 & 10/7 \\ 0 & 1 & -5/7 & -1/7 \\ 0 & 0 & 1/2 & 39/7 \end{pmatrix} \end{aligned}$$

$$\begin{aligned} r_1 - \frac{1}{2}r_3 \\ r_2 + \frac{5}{7}r_3 &\rightarrow \begin{pmatrix} 1 & 0 & 0 & 1 \\ 0 & 1 & 0 & 2 \\ 0 & 0 & 1 & 3 \end{pmatrix} \Rightarrow x_1 = 1; x_2 = 2; x_3 = 3 \end{aligned}$$

Inverse Matrix:

$$A \cdot R = I, \quad R = A^{-1}$$

$$A = \begin{pmatrix} 2 & 1 & 1 \\ 1 & 2 & 1 \\ 1 & 1 & 2 \end{pmatrix} \xrightarrow{\text{erw}} \begin{pmatrix} 2 & 1 & 1 & 1 & 0 & 0 \\ 1 & 2 & 1 & 0 & 1 & 0 \\ 1 & 1 & 2 & 0 & 0 & 1 \end{pmatrix}$$

$$\begin{array}{l} \frac{1}{2}r_1 \\ \rightarrow \end{array} \begin{pmatrix} 1 & \frac{1}{2} & \frac{1}{2} & \frac{1}{2} & 0 & 0 \\ 1 & 2 & 1 & 0 & 1 & 0 \\ 1 & 1 & 2 & 0 & 0 & 1 \end{pmatrix} \begin{array}{l} r_2 - r_1 \\ r_3 - r_1 \\ \rightarrow \end{array} \begin{pmatrix} 1 & \frac{1}{2} & \frac{1}{2} & \frac{1}{2} & 0 & 0 \\ 0 & \frac{3}{2} & \frac{1}{2} & -\frac{1}{2} & 1 & 0 \\ 0 & \frac{1}{2} & \frac{3}{2} & -\frac{1}{2} & 0 & 1 \end{pmatrix}$$

$$\begin{array}{l} \frac{2}{3}r_2 \\ \rightarrow \end{array} \begin{pmatrix} 1 & \frac{1}{2} & \frac{1}{2} & \frac{1}{2} & 0 & 0 \\ 0 & 1 & \frac{1}{3} & -\frac{1}{3} & \frac{2}{3} & 0 \\ 0 & \frac{1}{2} & \frac{3}{2} & -\frac{1}{2} & 0 & 1 \end{pmatrix} \begin{array}{l} r_1 - \frac{1}{2}r_2 \\ r_3 - \frac{1}{2}r_2 \\ \rightarrow \end{array} \begin{pmatrix} 1 & 0 & \frac{1}{3} & \frac{2}{3} & -\frac{1}{3} & 0 \\ 0 & 1 & \frac{1}{3} & -\frac{1}{3} & \frac{2}{3} & 0 \\ 0 & 0 & \frac{4}{3} & -\frac{1}{3} & -\frac{1}{3} & 1 \end{pmatrix}$$

$$\begin{array}{l} r_1 - \frac{1}{3}r_3 \\ r_2 - \frac{1}{3}r_3 \\ \rightarrow \end{array} \begin{pmatrix} 1 & 0 & 0 & \frac{3}{4} & -\frac{1}{4} & -\frac{1}{4} \\ 0 & 1 & 0 & -\frac{1}{4} & \frac{3}{4} & -\frac{1}{4} \\ 0 & 0 & 1 & -\frac{1}{4} & -\frac{1}{4} & \frac{3}{4} \end{pmatrix}$$

Pseudocode für  $A \cdot \vec{x} = \vec{b}$

for Spalte  $j=1$  to  $n$

begin

suche betragsgrößtes Element

vertausche  $j$ -te und  $k$ -te Zeile

if  $p_k = 0$

stop

else

begin

dividiere  $j$ -te Zeile durch  $p_k$

for zeile  $i' = 1$  to  $n$ ,  $i' \neq j$   
eliminiere alle Einträge  $a_{ij}$   
end

end

## LU-Zerlegung

$$A = L \cdot U \quad \text{mit} \quad U = \left( \begin{array}{c} \nabla \\ \nabla \\ \nabla \end{array} \right) \quad \text{und} \quad \left( \begin{array}{c} \triangle \\ \triangle \\ \triangle \end{array} \right) = L \\ \text{mit 1 auf Diag.}$$

"teile und herrsche"

$$A \cdot \vec{x} = \vec{b} \rightsquigarrow L \cdot \underbrace{U \cdot \vec{x}}_{\vec{y}} = \vec{b} \rightsquigarrow L \cdot \vec{y} = \vec{b} \quad ; \quad U \cdot \vec{x} = \vec{y}$$

(i) (ii)

(i) Lösen durch Vorwärtssubstitution nach  $\vec{y}$

(ii) Lösen durch Rückwärtssubstitution nach  $\vec{x}$

Vorteil: Zerlegung kann ohne  $\vec{b}$  durchgeführt werden.

Dies ist der arbeitsintensive Schritt. ( $\frac{1}{3}n^3$ )

Die Lösungen zu finden geht dann mit geringem Aufwand ( $\sim n^2$ )

Behauptung: LU-Zerlegung ist in der Gauß-Elimination enthalten - waja, fast



$$\begin{pmatrix} 3 & 6 & 9 \\ 2 & 5 & 2 \\ -3 & -4 & -11 \end{pmatrix} \xrightarrow{\frac{1}{3}r_1} \begin{pmatrix} 1 & 2 & 3 \\ 2 & 5 & 2 \\ -3 & -4 & -11 \end{pmatrix} \xrightarrow{\substack{r_2-2r_1 \\ r_3-3r_1}} \begin{pmatrix} 1 & 2 & 3 \\ 0 & 1 & -4 \\ 0 & 2 & -2 \end{pmatrix}$$

$$m_1 = \begin{pmatrix} 3 & 0 & 0 \\ 0 & 1 & 0 \\ 0 & 0 & 1 \end{pmatrix}$$

$$m_2 = \begin{pmatrix} 1 & 0 & 0 \\ 2 & 1 & 0 \\ -3 & 0 & 1 \end{pmatrix}$$

$$\xrightarrow{\text{Gauß}} \begin{pmatrix} 1 & 2 & 3 \\ 0 & 1 & -1 \\ 0 & 0 & -3 \end{pmatrix}$$

$$\rightarrow A = m_1 \cdot m_2 \cdot P \cdot m_3 \cdot m_4 \cdot m_5 \cdot U$$

$$= \begin{pmatrix} 3 & 0 & 0 \\ 2 & 1 & -3 \\ -3 & 2 & 0 \end{pmatrix} U$$

P.L

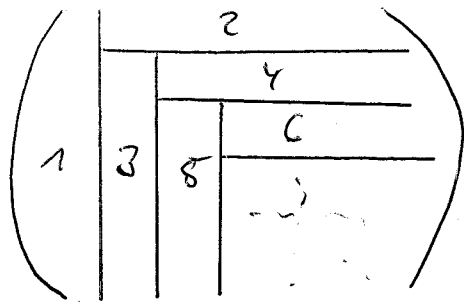
$$\rightarrow P \cdot A = L \cdot U \quad (\text{bis auf Permutation der Zeilen})$$

Crowd:

$$\begin{pmatrix} a_{11} & a_{12} & \dots & a_{1n} \\ a_{21} & & & \vdots \\ \vdots & & & \vdots \\ a_{m1} & \dots & \dots & a_{mn} \end{pmatrix} = \begin{pmatrix} l_{11} & 0 & \dots & 0 \\ l_{21} & l_{22} & \dots & 0 \\ \vdots & & & \vdots \\ l_{m1} & \dots & \dots & l_{mn} \end{pmatrix} \begin{pmatrix} 1 & u_{12} & \dots & u_{1n} \\ \vdots & 1 & & \vdots \\ & & \ddots & \vdots \\ 0 & \dots & & 1 \end{pmatrix}$$

- erste Spalte:  $a_{i1} = l_{i1} \Rightarrow l_{i1} = a_{i1}, i=1, \dots, m$
- erste Zeile:  $a_{1j} = l_{11} u_{1j} \Rightarrow u_{1j} = \frac{a_{1j}}{l_{11}}, j=2, \dots, n$
- zweite Spalte:  $a_{i2} = \underset{\substack{\uparrow \\ \text{bekannt}}}{l_{i1}} u_{12} + l_{i2}$

schematisch:



•  $j$ -te Spalte:  $l_{ij} = a_{ij} - \sum_{k=1}^{j-1} l_{ik} u_{kj}$ ,  $i = j, j+1, \dots, n$

•  $i$ -te Zeile:  $u_{ij} = (a_{ij} - \sum_{k=1}^{i-1} l_{ik} u_{kj}) / l_{ii}$ ,  $j = i+1, \dots, n$

21.11.06

(i) lässt sich leicht lösen:

$$\begin{aligned} l_{11} y_1 &= b_1 \\ l_{21} y_1 + l_{22} y_2 &= b_2 \\ \vdots & \\ l_{n1} y_1 + \dots + l_{nn} y_n &= b_n \end{aligned}$$

$$y_i = (b_i - \sum_{k=1}^{i-1} l_{ik} y_k) / l_{ii}, \quad i = 2, \dots, n$$

$$y_n = b_n / l_{nn}$$

$\vec{y}$  gefunden: (ii) lösen durch Rücksubstitution:

$$x_{n-i} = y_{n-i} - \sum_{k=n-i+1}^n u_{n-i,k} x_k, \quad i = 1, \dots, n-1$$

$$x_n = y_n$$

LU - Zerlegung: Gauß:

$$\vec{A} = \vec{L} \cdot \vec{U} \quad \vec{A} \cdot \vec{x} = \vec{b}$$

$$\rightarrow \underbrace{L \cdot U}_{:= \vec{y}} \cdot \vec{x} = \vec{b}$$

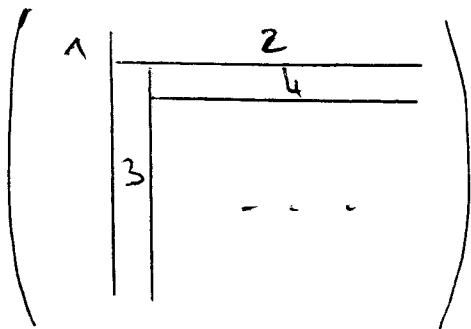
$$\rightarrow \boxed{L \cdot \vec{y} = \vec{b}} \quad \boxed{U \cdot \vec{x} = \vec{y}}$$

(i)                      (ii)

$$\begin{pmatrix} a_{11} & a_{12} & \dots & \dots \\ a_{21} & \dots & \dots & \dots \\ \vdots & & & \\ & & & a_{nn} \end{pmatrix} \rightarrow \begin{pmatrix} l_{11} & 0 & 0 & \dots \\ l_{21} & l_{22} & 0 & \dots \\ \dots & \dots & \dots & \dots \\ \dots & \dots & \dots & \dots \end{pmatrix} \cdot \begin{pmatrix} 1 & u_{12} & u_{13} & \dots \\ 0 & 1 & u_{23} & \dots \\ 0 & 0 & 1 & \dots \\ \dots & \dots & \dots & \dots \end{pmatrix}$$

j. Spalte:  $l_{ij} = a_{ij} - \sum_{k=1}^{i-1} l_{ik} u_{kj} \quad ; \quad i=j, j=1, \dots, n$   
 $l_{ii} = a_{ii}$

i. Zeile:  $u_{ij} = (a_{ij} - \sum_{k=1}^{i-1} l_{ik} u_{kj}) / l_{ii} \quad ; \quad j=i+1, \dots, n$   
 $u_{ji} = a_{ji} / l_{ii}$



(i) lässt sich leicht lösen:

$$\begin{array}{rcl} l_{11} y_1 & = & b_1 \rightarrow y_1 = b_1 / l_{11} \\ l_{21} y_1 + l_{22} y_2 & = & b_2 \\ \vdots & & \vdots \\ l_{n1} y_1 + l_{n2} y_2 + \dots + l_{nn} y_n & = & b_n \end{array} \quad \begin{array}{l} \text{Vorwärts-} \\ \text{substitution} \\ \downarrow \end{array}$$

$$\boxed{y_i = (b_i - \sum_{k=1}^{i-1} l_{ik} y_k) / l_{ii}} \quad ; \quad i = 2 \dots n$$

$$y_1 = b_1 / l_{11}$$

$\vec{y}$  gefunden: (ii) lösen durch Rücksubstitution

$$\begin{array}{rcl} x_1 + a_{12} x_2 + \dots + a_{1n} x_n & = & y_1 \\ & & x_2 + \dots + a_{2n} x_n = y_2 \\ & & \vdots \\ & & x_n = y_n \end{array} \quad \uparrow$$

$$\boxed{x_{n-i} = y_{n-i} - \sum_{k=n-i+1}^n a_{n-i,k} x_k} \quad i = 1 \dots n-1$$

$$x_n = y_n$$

## Inverse Matrix:

nehme  $\vec{b}_1, \vec{b}_2, \dots$  mit  $b_{ij} = \delta_{ij}$  ;  $i, j = 1 \dots n$

Determinante :  $\det(A) = \det(L) \cdot \det(U)$   
 $= \prod_{i=1}^n l_{ii} \cdot 1$

## Effizienz:

### - Gauß-Elimination

i) Umformung von  $A \rightarrow U$

$U: \begin{pmatrix} \times & \times & \times & \times \\ \times & \times & \times & \times \\ \times & \times & \times & \times \\ \times & \times & \times & \times \end{pmatrix}$   $n-1$  Einträge (1. Zeile)  
 $n-1$  Koeff. geändert (1. Spalte) usw.

arithmetische Operationen : Mult., Div.

Aufwand :  $(n-1)^2 + (n-2)^2 + \dots + 1$   
 $= \sum_{i=2}^n (i-1)^2 = \sum_{i=1}^{n-1} i^2 = \frac{1}{6} (n-1)n(2n-1)$   
 $\sim \frac{1}{3} n^3$

ii) Rücksubstitution

$$\begin{array}{rcl} x_1 + a_{12} x_2 + \dots + a_{1n} x_n & = & b_1' \quad n-1 \text{ a. Ops.} \\ & & \\ & & \\ x_{n-1} + a_{n-1, n} x_n & = & b_{n-1}' \quad 1 \text{ a. Ops} \\ & & \\ & & \\ & & x_n = b_n' \end{array}$$

Aufwand :  $\sum_{i=1}^{n-1} i = \frac{(n-1)n}{2} \sim \frac{n^2}{2}$

Gesamtaufwand  $\frac{1}{3} n^3 + m \frac{n^2}{2} \sim O(n^3)$   
für  $m$  rechte Seiten

## - LU-Zerlegung

- (i) Zerlegung wie bei Gauß:  $O(n^3)$
- (ii) Rück- und Vorwärtssubst.  $\therefore O(n^2)$   
für einzelne Lösungen

• Determinante: kein zusätzlicher Aufwand  
zu Zerlegung

verg. mit "klassischen" Verfahren:  
 $O(n!)$

$\Rightarrow$  LU-Zerlegung ist hier sehr hilfreich

## Überbestimmte Systeme

$$A\vec{x} = \vec{b}$$

$A$ :  $m \times n$ -Matrix,  $m > n$

$\vec{b}$ :  $m$  Komponenten

$\vec{x}$ :  $n$  Komponenten

In der Regel: keine eindeutige exakte Lösung

• Lösung nach der Methode der kleinsten Quadrate

- definiere Abweichung:  $\vec{r} := \vec{b} - A\vec{x}$

- minimiere Summe der quadratischen Abweichung:

$$\|\vec{r}\|^2 = \sum_{i=1}^m [b_i - (A\vec{x})_i] [b_i - (A\vec{x})_i]$$

$$= \sum_{i=1}^m \left( b_i - \sum_{j=1}^n A_{ij} x_j \right) \left( b_i - \sum_{j=1}^n A_{ij} x_j \right)$$

$$\frac{\partial \|\vec{r}\|^2}{\partial x_k} = 0$$

$$\rightarrow \sum_{i=1}^n \left[ -A_{ik} (b_i - \sum_{j=1}^n A_{ij} x_j) + (b_i - \sum_{j=1}^n A_{ij} x_j) (-A_{ik}) \right] \stackrel{!}{=} 0$$

$$\rightarrow -2 \sum_{i=1}^n A_{ik} (b_i - \sum_{j=1}^n A_{ij} x_j) \stackrel{!}{=} 0$$

$$\rightarrow \boxed{A^T \cdot A \cdot \vec{x} = A^T \cdot \vec{b}} \quad \text{ist von der Form}$$

$\uparrow$  "Normalgleichungen"

$$A \cdot \vec{x} = \vec{b}$$

$$A = n \times n, \quad A^T = n \times n \quad \rightarrow \quad A^T \cdot A = n \times n$$

Jetzt kann Gauß/Gauß-Jordan/LL-Zerlegung angewendet werden

Beispiel:

$$x_1 - x_2 = 2$$

$$x_1 + x_2 = 4$$

$$2x_1 + x_2 = 8$$

$$A = \begin{pmatrix} 1 & -1 \\ 1 & 1 \\ 2 & 1 \end{pmatrix} \quad A^T = \begin{pmatrix} 1 & 1 & 2 \\ -1 & 1 & 1 \end{pmatrix} \quad A^T \cdot A = \begin{pmatrix} 6 & 2 \\ 2 & 3 \end{pmatrix}$$

$$\vec{b} = \begin{pmatrix} 2 \\ 4 \\ 8 \end{pmatrix}, \quad A^T \cdot \vec{b} = \begin{pmatrix} 22 \\ 10 \end{pmatrix}$$

$$\Rightarrow \left. \begin{array}{l} 6x_1 + 2x_2 = 22 \\ 2x_1 + 3x_2 = 10 \end{array} \right\} \Rightarrow \begin{array}{l} x_1 = 23/7 \\ x_2 = 8/7 \end{array}$$

Beispiel:  $x = a_i$ ,  $i = 1, \dots, m$

$$F^2 = \sum_{i=1}^m (x - a_i)^2, \quad \frac{dF^2}{dx} = 0 \rightarrow 2 \sum_{i=1}^m (x - a_i) \stackrel{!}{=} 0$$

$$\rightarrow mx = \sum_{i=1}^m a_i$$

$$\rightarrow \boxed{x = \frac{1}{m} \sum_{i=1}^m a_i} \quad \text{Mittelwert}$$

23.11.06

Standardabweichung:  $\sigma = \sqrt{\frac{F^2}{m}}$   
(mittlere quadr. Abweichung)

### Iterative Verfahren für lineare Gleichungssysteme

a) Jacobi:  $A \vec{x} = \vec{b}$ ,  $A: n \times n$  - Matrix  
definiere  $A = D + E$ ,  $D$ : Diagonalmatrix  
 $D_{ij} = a_{ij} \delta_{ij}$

$$(D + E) \cdot \vec{x} = \vec{b}$$

$$D \cdot \vec{x} = \vec{b} - E \vec{x}$$

$$\boxed{\vec{x} = D^{-1} \cdot (\vec{b} - E \vec{x})}$$

Fixpunktgleichung

Komponentenschreibweise:

$$x_i^{(k+1)} = \left( b_i - \sum_{\substack{j=1 \\ j \neq i}}^n a_{ij} x_j^{(k)} \right) / a_{ii}$$

Bei der Berechnung von  $x_i^{(k+1)}$  wird nicht die aktuellste Information benutzt: obwohl  $x_{i'}^{(k+1)}$  mit  $i' < i$  schon bekannt werden noch immer die alten Werte  $x_{i'}^{(k)}$  verwendet





$$\rightarrow \boxed{|a_{ii}| > \sum_{\substack{j=1 \\ j \neq i}}^n |a_{ij}|, \quad i = 1 \dots n}$$

starkdiagonal-  
dominante Matrizen

Zu jeder Zeit muss die Summe der Beträge der nicht-diagonalelemente kleiner sein als der Betrag des Diagonalelements.

Die Konvergenz ist für solche "starkdiagonaldominante Matrizen" garantiert, aber auch ansonsten kann das Verfahren noch konvergieren (abhängig von Startwert)

Betrachtung nochmal ohne Verwendung von Cauchy-Schwarz:

$$\begin{aligned} \vec{e}^{(k+1)} &= -D^{-1} E \vec{e}^{(k)} \\ e_i^{(k+1)} &= - \sum_{\substack{j=1 \\ j \neq i}}^n \frac{a_{ij}}{a_{ii}} e_j^{(k)}, \quad i = 1 \dots n \end{aligned}$$

Der Betrag:

$$\begin{aligned} |e_i^{(k+1)}| &\leq \sum_{\substack{j=1 \\ j \neq i}}^n \left| \frac{a_{ij}}{a_{ii}} \right| |e_j^{(k)}| \\ &= \sum_{\substack{j=1 \\ j \neq i}}^n \left| \frac{a_{ij}}{a_{ii}} \right| \|\vec{e}^{(k)}\|_{\infty} \end{aligned}$$

$$\rightarrow \|\vec{e}^{(k+1)}\|_{\infty} \leq \sum_{\substack{j=1 \\ j \neq i}}^n \left| \frac{a_{ij}}{a_{ii}} \right| \|\vec{e}^{(k)}\|_{\infty}$$

$$\|\vec{e}^{(k+1)}\|_{\infty} \leq \max_i \underbrace{\sum_{\substack{j=1 \\ j \neq i}}^n \left| \frac{a_{ij}}{a_{ii}} \right|}_{= \|D^{-1} \cdot E\|_{\infty}} \|\vec{e}^{(k)}\|_{\infty}$$

Selbes Ergebnis

1) Dreiecksungleichung  $|a+b| \leq |a| + |b|$

28.11.06

Fehlerfortpflanzung: Gauß / Gauß-Jordan / LU-Zerlegung

$$A \vec{x} = \vec{b} \quad (1)$$

$$A \vec{x}_j = \vec{b} + \vec{j}$$

↑ Eingabefehler

$$A (\vec{x}_j - \vec{x}) = \vec{j} \quad (1')$$

$$\rightarrow \vec{x}_j - \vec{x} = A^{-1} \cdot \vec{j}$$

$$\|\vec{x}_j - \vec{x}\|_\infty \leq \|A^{-1}\|_\infty \|\vec{j}\|_\infty \quad (\text{Zeilensummennorm})$$

aus (1):

$$\|\vec{b}\|_\infty \leq \|A\|_\infty \|\vec{x}\|_\infty$$

$$\|\vec{x}\|_\infty \geq \frac{\|\vec{b}\|_\infty}{\|A\|_\infty} \quad (3)$$

aus (2), (3):

$$\frac{\|\vec{x}_j - \vec{x}\|_\infty}{\|\vec{x}\|_\infty} \leq \underbrace{\|A\|_\infty \|A^{-1}\|_\infty}_{\substack{\text{"conditioning"} \\ \text{factor}}} \frac{\|\vec{j}\|_\infty}{\|\vec{b}\|_\infty} \quad , \quad \frac{\|\vec{x}_j - \vec{x}\|_\infty}{\|\vec{x}\|_\infty} \leq c(A) \frac{\|\vec{j}\|_\infty}{\|\vec{b}\|_\infty}$$

Ein Gleichungssystem ist schlecht konditioniert, wenn eine kleine Änderung auf der rechten Seite eine große Änderung der Lösung nach sich zieht.

# Bestimmung einer unteren Schranke

aus (1):

$$\|\vec{x}\|_{\infty} \leq \|A^{-1}\|_{\infty} \|b\|_{\infty}$$

aus (1'):

$$\|j\|_{\infty} \leq \|A^{-1}\|_{\infty} \|\vec{x}_j - \vec{x}\|_{\infty}$$

$$\Rightarrow \frac{\|\vec{x}_j - \vec{x}\|_{\infty}}{\|\vec{x}\|_{\infty}} \geq \frac{\|j\|_{\infty}}{C(A) \|b\|_{\infty}}$$

Insgesamt gilt:

$$\frac{1}{C(A)} \frac{\|j\|_{\infty}}{\|b\|_{\infty}} \leq \frac{\|\vec{x}_j - \vec{x}\|_{\infty}}{\|\vec{x}\|_{\infty}} \leq C(A) \frac{\|j\|_{\infty}}{\|b\|_{\infty}}$$

Wenn  $C(A)$  groß ist, ist die Matrix bzw. das Gleichungssystem schlecht konditioniert

Angenommen, Fehler ist nicht auf der rechten Seite, sondern bei der Matrix:

$$(A + F) \cdot \vec{x}_j = \vec{b}$$

$$\rightarrow A(\vec{x}_j - \vec{x}) = -F \cdot \vec{x}_j$$

$$\rightarrow \|\vec{x}_j - \vec{x}\|_{\infty} \leq \|A^{-1}\|_{\infty} \|F\|_{\infty} \|\vec{x}_j\|_{\infty}$$

$$\frac{\|\vec{x}_j - \vec{x}\|_{\infty}}{\|\vec{x}_j\|_{\infty}} \leq C(A) \frac{\|F\|_{\infty}}{\|A\|_{\infty}}$$

$$\frac{\|\vec{x}_j - \vec{x}\|_{\infty}}{\|\vec{x}\|_{\infty}} \leq \frac{C(A) \|F\|_{\infty} / \|A\|_{\infty}}{1 - C(A) \|F\|_{\infty} / \|A\|_{\infty}}$$

## Eigenwertproblem

$$A \cdot \vec{x} = \lambda \vec{x}$$

↑                    ↑  
Eigen-            Eigenwert  
vektor

$A$ :  $n \times n$  - Matrix

$$\rightarrow (A - \lambda I) \cdot \vec{x} = 0$$

nichttriviale Lösung, wenn  $\det(A - \lambda I) = 0$

charakteristisches Polynom  $f^{(n)}(\lambda)$   $n$ -ten Grades

$f^{(n)}(\lambda)$ : charakteristisches Polynom: hat genau  $n$  Nullstellen

$\rightarrow n \times n$  - Matrix hat genau  $n$  Eigenwerte

- $n$  klein: normale Verfahren anwenden
- $n$  groß: Rechenverfahren zu unständig und zu anfällig gegenüber Rundungsfehlern

Angenommen,  $|\lambda_1| > |\lambda_2| \geq |\lambda_3| \dots \geq |\lambda_n|$

↑  
dominanter  
Eigenwert

Eigenvektoren:  $\vec{x}_1, \dots, \vec{x}_n$

beliebiger Vektor  $\vec{x}$ :  $\vec{x} = c_1 \vec{x}_1 + c_2 \vec{x}_2 + \dots + c_n \vec{x}_n \equiv \vec{x}^{(0)}$   
(Entwicklung)

Wir betrachten  $A \cdot \vec{x}^{(0)} \equiv \vec{x}^{(1)} = c_1 \lambda_1 \vec{x}_1 + c_2 \lambda_2 \vec{x}_2 + \dots$   
nach  $k$  Iterationen:

$$A^k \cdot \vec{x}^{(0)} = c_1 \lambda_1^k \vec{x}_1 + c_2 \lambda_2^k \vec{x}_2 + \dots \equiv \vec{x}^{(k)}$$

Benutzen, dass  $\lambda_1$  dominanter Eigenwert ist,  $\lambda_1$  ausklammern:

$$\rightarrow A^k \vec{x}^{(0)} = \lambda_1^k \left[ c_1 \vec{x}_1 + c_2 \left(\frac{\lambda_2}{\lambda_1}\right)^k \vec{x}_2 + \dots + c_n \left(\frac{\lambda_n}{\lambda_1}\right)^k \vec{x}_n \right]$$

$$\xrightarrow{k \text{ groß}} \lambda_1^k c_1 \vec{x}_1 + \downarrow, \text{ wenn } c_1 \neq 0$$

$$\frac{(A^{k+1} \cdot \vec{x})_i}{(A^k \cdot \vec{x})_i} = \frac{x_i^{(k+1)}}{x_i^{(k)}} = \frac{\lambda_1^{k+1} c_1 x_{1,i}}{\lambda_1^k c_1 x_{1,i}} = \lambda_1$$

"Potenzmethode (von Mises)"

Rayleigh - Quotient :

$$r^k \equiv \frac{\vec{x}^{(k)} \cdot A \cdot \vec{x}^{(k)}}{\vec{x}^{(k)} \cdot \vec{x}^{(k)}} \approx \lambda_1$$

Berücksichtigung aller Komponenten!

übrige Eigenwerte:

- betragskleinster Eigenwert : durch Anwendung der Potenzmethode auf  $A^{-1}$

- andere Eigenwerte:

Setze  $\mu \neq \lambda_i$  für  $i=1, \dots, n$ .

betrachte  $(A - \mu I)^{-1}$ , besitzt Eigenwerte

$$\frac{1}{\lambda_i - \mu}, \text{ Eigenvektoren } \vec{x}_i$$

Wenn gilt:  $|\lambda_j - \mu| < |\lambda_i - \mu|$  ( $\mu$  in der Nähe von  $\lambda_j$ )

so ist  $\frac{1}{\lambda_j - \mu}$  der dominante Eigenwert von  $(A - \mu I)^{-1}$

$\Rightarrow$  Potenzmethode kann wieder angewandt werden, um  $\lambda_j$  zu erhalten

Wenn  $\mu$  schon eine gute Näherung für  $\lambda_j$  ist ~~das~~  
 konvergiert das Verfahren schnell.

Welchen Startwert sollte man für  $\mu$  verwenden?

$\Rightarrow$  Kreissatz von Gerschgorin (Lokalisierung von Eigenwerten)

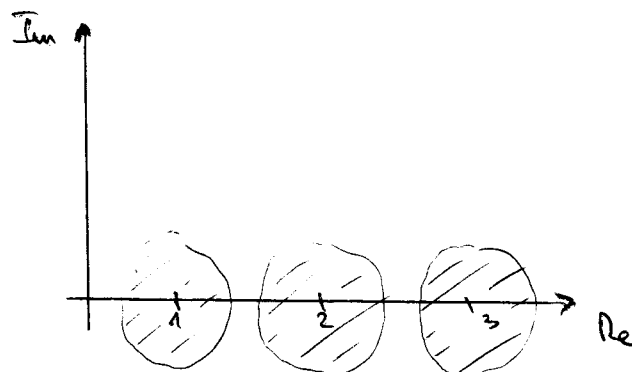
### Kreissatz von Gerschgorin

" Jeder Eigenwert liegt in einem der Kreise um  $a_{ii}$  mit dem Radius

$$R_i = \sum_{j \neq i} |a_{ij}| \quad , \quad i = 1, 2, \dots, n$$

Beispiel:

$$\begin{pmatrix} 1 & 0.1 & -0.2 \\ 0 & 2 & 0.4 \\ -0.2 & 0 & 3 \end{pmatrix}$$



$$|\lambda_1 - 1| \leq 0.3 \quad |\lambda_3 - 3| \leq 0.2 \quad |\lambda_2 - 2| \leq 0.4$$

30.11.06

Beweis:

Sei  $A\vec{x} = \lambda\vec{x}$  ,  $|\vec{x}| := \max_j |x_j|$   
 (=  $\|\vec{x}\|_\infty$ , Zeilen-Summennorm)

$$\rightarrow (a_{ii} - \lambda)x_i = - \sum_{j \neq i} a_{ij} x_j$$

$$\rightarrow |a_{ii} - \lambda| \leq \sum_{j \neq i} |a_{ij}| \frac{|x_j|}{|x_i|}$$

$$\leq \sum_{j \neq i} |a_{ij}|$$

□

oft: in jedem Schritt:  $|\vec{x}^{(k)}| \stackrel{!}{=} 1$

## Weitere Konvergenz beim Gauß-Seidel-Verfahren

Zusätzlich zu dem oben genannten Fall, konvergiert das Verfahren ebenfalls, wenn  $A$  symmetrisch und positiv definit ist ( $\lambda_i > 0$ ;  $i = 1 \dots n$ )

## Ausgleichsproblem

Ziel: Anpassung einer Funktion an eine Messreihe:  
Regression nach der Methode der kleinsten Quadrate  
(Gauß) für ein Polynom vom Grad  $m$

$$p(x) = a_0 + a_1 x + \dots + a_m x^m$$

Summe der Quadrate der Fehler:

$$\bar{\chi}^2 = \sum_{i=0}^{n-1} [y_i - p(x_i)]^2 \quad \text{Messungen: } (x_i, y_i)$$

$\bar{\chi}^2$  soll durch geeignete Wahl der Koeffizienten minimiert werden

$$\frac{\partial \bar{\chi}^2}{\partial a_k} \stackrel{!}{=} 0 \quad \rightarrow \quad -2 \sum_{i=0}^{n-1} x_i^k [y_i - p(x_i)] \stackrel{!}{=} 0; \quad k = 0 \dots m$$

$$s_k \equiv \sum_{i=0}^{n-1} x_i^k$$

$$t_k \equiv \sum_{i=0}^{n-1} y_i x_i^k$$



$$\begin{aligned}
 s_0 a_0 + s_1 a_1 + \dots + s_m a_m &= t_0 \\
 s_1 a_0 + s_2 a_1 + \dots + s_{m+1} a_m &= t_1 \\
 &\vdots \\
 s_m a_0 + s_{m+1} a_1 + \dots + s_{2m} a_m &= t_m
 \end{aligned}$$

$$A \cdot \vec{a} = \vec{t} \quad ; \quad A = \begin{pmatrix} s_0 & s_1 & \dots & s_m \\ s_1 & s_2 & \dots & s_{m+1} \\ \vdots & \vdots & \ddots & \vdots \\ s_m & s_{m+1} & \dots & s_{2m} \end{pmatrix}$$

Achtung: Für große  $m$  ist das System schlecht konditioniert (numerisch instabil)

angenehm  $x_i$ : äquidistant in  $[0, 1]$

$(n-1)$  Intervalle

$$\rightarrow \frac{1}{n-1} \sum_{i=0}^{n-1} x_i^k \stackrel{\substack{\uparrow \\ m \\ \text{groß}}}{\approx} \int_0^1 dx x^k = \frac{1}{k+1}$$

$$\rightarrow A = (n-1) \begin{pmatrix} 1 & \frac{1}{2} & \frac{1}{3} & \dots & \frac{1}{n+1} \\ \frac{1}{2} & \frac{1}{3} & \frac{1}{4} & \dots & \vdots \\ \frac{1}{3} & \frac{1}{4} & \frac{1}{5} & \dots & \vdots \\ \vdots & \vdots & \vdots & \ddots & \vdots \\ \frac{1}{n+1} & \frac{1}{n+2} & \dots & \dots & \frac{1}{2n+1} \end{pmatrix} \quad \left. \begin{array}{l} \text{Hilbertmatrix} \\ H_{ij} = \frac{1}{i+j-1} \end{array} \right\}$$

Hilbert-Matrix: äußerst kleine Determinante für große  $n$

$$4 \times 4 \text{-Matrix } (n=3) \quad \det A = 1.65 \cdot 10^{-7} !$$

Wenn  $n$  groß ist: Singulärwertzerlegung (SVD)

## Allgemein: lineare kleinste Quadrate

$$p(x) = \sum_{j=0}^m a_j X_j(x)$$

↑  
Basisfunktionen können  
höchst- nichtlinear sein

minimiere:

$$X^2 = \sum_{i=0}^{n-1} \left( \frac{y_i - p(x_i)}{\sigma_i} \right)^2$$

$$\frac{\partial X^2}{\partial a_k} \stackrel{!}{=} 0 \quad , \quad k = 0 \dots m$$

$$\rightarrow \sum_{i=0}^{n-1} \frac{1}{\sigma_i^2} X_k(x_i) [y_i - p(x_i)] \stackrel{!}{=} 0$$

Matrix-Notation:

$$A \cdot \vec{a} = \vec{b} \quad \text{zu lösen z.B. mit Gauß-Jordan}$$

$$b_k = \sum_{i=0}^{n-1} \frac{1}{\sigma_i^2} X_k(x_i) y_i$$

$$A_{ij} = \sum_{i=0}^{n-1} \frac{X_k(x_i) X_j(x_i)}{\sigma_i^2}$$

## Fehleranalyse

betrachte Gaußsche Normalverteilung

$$p(y) = \frac{1}{\sqrt{2\pi} \sigma_y} e^{-\frac{(y - \bar{y})^2}{2\sigma_y^2}}$$

$\bar{y}$  Erwartungswert von  $y$ :

$$\langle y \rangle \equiv \int_{-\infty}^{+\infty} dy y P(y) = \bar{y}$$

$\sigma_y^2$  : Varianz

$$\begin{aligned} \langle (y - \langle y \rangle)^2 \rangle &= \langle y^2 \rangle - \langle y \rangle^2 = \int_{-\infty}^{+\infty} dy y^2 P(y) - \bar{y}^2 \\ &= \sigma_y^2 \end{aligned}$$

Betrachte Messreihe: bei festen  $x_i$ :  $y_{i,j}$ ,  $j=0 \dots l-1$   
wenn die Fehler statistisch verteilt sind, so ist die Verteilung der Messwerte eine Normalverteilung

Für Normalverteilung  $\int_{\bar{y}-\sigma_y}^{\bar{y}+\sigma_y} dy P(y) = 0,6826 = 68,3\%$   
(1  $\sigma$  - Intervall)

2 $\sigma$  - Intervall : 95,4%

Schätzwert für den Mittelwert  $\bar{y}_j = \frac{1}{l} \sum_{i=0}^{l-1} y_i$  \*

Schätzwert für die Standardabweichung  $\hat{\sigma}_y = \sqrt{\frac{\sum_{i=0}^{l-1} (y_{i,j} - \bar{y}_j)^2}{l-1}}$   
 $l-1$  ist die Zahl der Freiheitsgrade:  
 $l$  - (Beziehung \*)

5.12.06

$$f = f(y_0 \dots y_{n-1})$$

$$\begin{aligned} \langle f(y_0 \dots y_{n-1}) \rangle &= \frac{1}{l} \sum_{j=0}^{l-1} f(y_{0,j}, y_{1,j}, \dots, y_{n-1,j}) \\ &= f(\bar{y}_0 \dots \bar{y}_{n-1}) \end{aligned}$$

Definition der Varianz

$$\sigma_f^2 = \langle (f(y_0 \dots y_{n-1}) - \langle f(y_0 \dots y_{n-1}) \rangle)^2 \rangle$$

$$= \left\langle \left( \sum_{i=0}^{n-1} \frac{\partial f}{\partial y_i} \frac{1}{\sigma_i} (y_i - \bar{y}_i) \right)^2 \right\rangle$$

$$= \left\langle \sum_{i=0}^{n-1} \sum_{j=0}^{n-1} \frac{\partial f}{\partial y_i} \frac{1}{\sigma_i} \frac{\partial f}{\partial y_j} \frac{1}{\sigma_j} (y_i - \bar{y}_i) (y_j - \bar{y}_j) \right\rangle$$

$$= \sum_{i=0}^{n-1} \frac{\partial f}{\partial y_i} \frac{1}{\sigma_i} \frac{\partial f}{\partial y_i} \frac{1}{\sigma_i} \underbrace{\langle (y_i - \bar{y}_i) (y_i - \bar{y}_i) \rangle}_{\sigma_i^2 \sigma_{y_i}^2}$$

$$= \sum_{i=0}^{n-1} \sigma_{y_i}^2 \left( \frac{\partial f}{\partial y_i} \frac{1}{\sigma_i} \right)^2 \quad \text{Gaußsche Fehlerfortpflanzung}$$

Weiterführung: lineare kleinste Quadrate

$$p(x) = \sum_{j=0}^n a_j X_j(x)$$

$$\chi^2 = \sum_{i=0}^{n-1} \left[ \frac{y_i - p(x_i)}{\sigma_i} \right]^2 \quad \text{Soll minimal sein}$$

→ Matrix-Notation

$$A \cdot \vec{a} = \vec{b} \quad , \quad b_k = \sum_{i=0}^{n-1} \frac{y_i}{\sigma_i} X_k(x_i)$$

$$A_{kj} = \sum_{i=0}^{n-1} \frac{X_k(x_i) X_j(x_i)}{\sigma_i^2} \quad , \quad k, j = 0, \dots, n$$

(s.o.)

explizit:

$$a_j = \sum_{k=0}^n (A^{-1})_{jk} b_k$$

$$= \sum_{k=0}^n \sum_{i=0}^{n-1} (A^{-1})_{jk} \frac{y_i}{\sigma_i} X_k(x_i)$$

$$\rightarrow \frac{\partial a_j}{\partial y_i} = \sum_{k=0}^n (A^{-1})_{jk} \frac{1}{\sigma_i} X_k(x_i)$$

$$\begin{aligned} \sigma_{aj}^2 &= \sum_{i=0}^{n-1} \cancel{\sigma_i^2} \sum_{k=0}^m (A^{-1})_{jk} \frac{1}{\cancel{\sigma_i^2}} X_k(x_i) \cdot \sum_{k'=0}^m (A^{-1})_{jk'} \frac{1}{\cancel{\sigma_i^2}} X_{k'}(x_i) \\ &= \sum_{k,k'=0}^m (A^{-1})_{jk} (A^{-1})_{jk'} \underbrace{\sum_{i=0}^{n-1} \frac{X_k(x_i) X_{k'}(x_i)}{\sigma_i^2}}_{= A_{kk'}} \\ &= \sum_{k'=0}^m (A^{-1})_{jk'} \delta_{jk'} \end{aligned}$$

$$\boxed{\sigma_{aj}^2 = (A^{-1})_{jj}}$$

## Singulärwertzerlegung (SVD)

$$A = U \cdot \Sigma \cdot V^T$$

$$A \in \mathbb{R}^{m \times n}$$

$$U \in \mathbb{R}^{m \times m}$$

$$V \in \mathbb{R}^{n \times n}$$

$$\Sigma = \text{diag}(\sigma_1, \sigma_2, \dots, \sigma_p)$$

$$p = \min\{m, n\}$$

$$\sigma_1 \geq \sigma_2 \geq \sigma_3 \dots \geq \sigma_p \geq 0$$

$\sigma_i$ : Singuläre Werte

$$U, V \text{ orthogonal: } U U^T = U^T U = 1$$

$$V V^T = V^T V = 1$$

Spaltenvektoren von  $U$  und  $V$ : Singuläre Vektoren

Vorteil bei der Lösung  $A \vec{x} = \vec{b}$  nach der Methode der kleinsten Quadrate:

Setze  $\vec{r} = \vec{b} - A \vec{x}$ ,  $\vec{r}$  soll minimiert werden

$$\begin{aligned}
F^2 &= (A\vec{x} - \vec{b})^2 = (A\vec{x} - \vec{b})^T (A\vec{x} - \vec{b}) \\
&= (A \cdot V V^T \vec{x} - \vec{b})^T \cdot U U^T \cdot (A V V^T \vec{x} - \vec{b}) \\
&= (U^T A V V^T \vec{x} - U^T \vec{b})^T \cdot (U^T A \cdot V V^T \vec{x} - U^T \vec{b}) \\
&= \left( \underbrace{\Sigma \cdot V^T \cdot \vec{x}}_{\equiv \vec{z}} - \underbrace{U^T \vec{b}}_{\equiv \vec{d}} \right)^T \cdot \left( \Sigma \cdot V^T \vec{x} - U^T \vec{b} \right) \\
&= \left( \Sigma \cdot \vec{z} - \vec{d} \right)^2
\end{aligned}$$

$F^2$  wird minimiert durch  $z_i = \frac{d_i}{\sigma_i} \quad ; \quad \sigma_i \neq 0$   
 $z_i$  beliebig  $\quad ; \quad \sigma_i = 0$

und  $F_{\min}^2 = \sum_i d_i^2$  für alle  $i$  mit  $\sigma_i = 0$  oder  $i > n$

Lösung des eigentlichen Problems

$$\vec{x} = V \cdot \vec{z}$$

• Maß für die Konditionierung einer Matrix

$$C_\infty(A) = \|A\|_\infty \|A^{-1}\|_\infty$$

$$\|M\|_\infty = \max_i \sum_{j=1}^n |m_{ij}|$$

$$C_E(A) = \|A\|_E \|A^{-1}\|_E$$

Euklidische Norm

$$= \sigma_{\max} / \sigma_{\min}$$

$$\|M\|_E = \max_{|\vec{x}|=1} |M \cdot \vec{x}|$$

Algorithmus zur Zerlegung in  $\sigma_i, \vec{u}_i, \vec{v}_i$

i) finde Eigenwerte der Matrix  $A^T \cdot A$ , und ordne sie, sodass  $\lambda_1 \geq \lambda_2 \geq \dots \geq \lambda_n \geq 0$

$$\rightarrow \boxed{\Sigma_{ii} = \sqrt{\lambda_i}}$$

ii) finde Eigenvektoren  $\vec{v}_i$

$$\rightarrow V = \vec{v}_1 \uparrow \text{bringt} U \vec{v}_2 U \vec{v}_3 \dots U \vec{v}_n \in \mathbb{R}^{n \times n}$$

iii) finde  $\vec{u}_i = \frac{1}{\sigma_i} A \vec{v}_i$  für  $\sigma_i \neq 0$  und  $j \leq n$

iv) finde Rest mit Hilfe von Gram-Schmidt:

$$\rightarrow U = \vec{u}_1 U \vec{u}_2 \dots U \vec{u}_m \in \mathbb{R}^{m \times m}$$

7.12.06

### Orthogonale Polynome

$P_k$ : orthogonales Polynom auf dem Intervall  $[a, b]$   
mit Koeffizienten 1 des führenden Terms

$$\langle P_i, P_j \rangle = \delta_{ij}$$

Skalarprodukt:  $\langle f, g \rangle = \int_a^b dx W(x) f(x) g(x)$   
 $\uparrow$  pos. definite Gewichtsfunktion

Behauptung: Polynome können mit Hilfe einer Drei-Terme-Rekursion konstruiert werden

$$P_k(x) = (x + a_k) P_{k-1}(x) + b_k P_{k-2}(x) \quad (\square)$$

$$P_0 = 1 \quad P_1(x) = x + a$$

Beweis: nehme an  $P_0 \dots P_{k-1}$  schon konstruiert

$$P_k - x P_{k-1} = \sum_{j=0}^{k-1} d_j P_j$$

$$d_j = \frac{\langle P_k - x P_{k-1}, P_j \rangle}{\langle P_j, P_j \rangle} \quad ; \quad j = 0 \dots k-1$$

$$= \frac{\langle x P_{k-1}, P_j \rangle}{\langle P_j, P_j \rangle}$$

$$= - \frac{\langle P_{k-1}, x P_j \rangle}{\langle P_j, P_j \rangle}$$

$$d_0 = d_1 = \dots = d_{k-3} = 0$$

$$d_{k-2} = - \frac{\langle x P_{k-1}, P_{k-2} \rangle}{\langle P_{k-2}, P_{k-2} \rangle} \stackrel{(\square)}{=} b_k \frac{\langle P_{k-2}, P_{k-2} \rangle}{\langle P_{k-2}, P_{k-2} \rangle} = b_k$$

$$d_{k-1} = - \frac{\langle P_{k-1}, x P_{k-1} \rangle}{\langle P_{k-1}, P_{k-1} \rangle} \stackrel{(\square)}{=} \cancel{a_k} a_k \frac{\langle P_{k-1}, P_{k-1} \rangle}{\langle P_{k-1}, P_{k-1} \rangle} = a_k$$

$$\Rightarrow P_k - x P_{k-1} = \sum_{j=k-2}^{k-1} d_j P_j = b_k P_{k-2} + a_k P_{k-1}$$

$\Rightarrow \square$

q.e.d.

Rekursion braucht 2 Startwerte  $P_0, P_1(x)$

Lösungen hängen linear von diesen Startwerten ab

$\rightarrow$  Lösungen bilden einen 2-dimensionalen Raum

Eine Drei-Terme-Rekursion liefert  $\geq$  unabhängige Lösungen



## Stabilität:

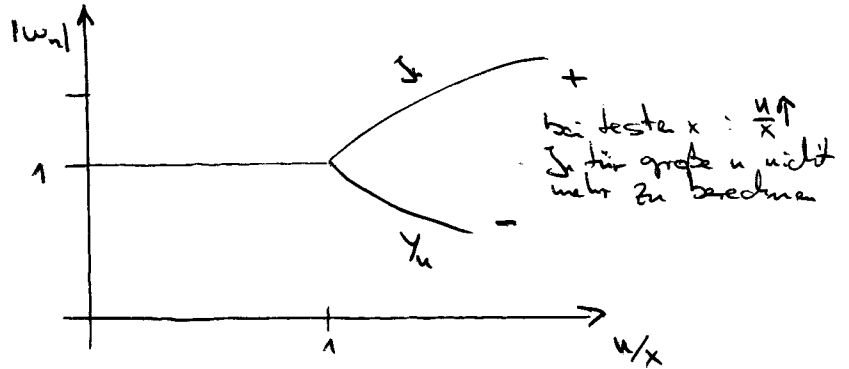
Bessel: Setze  $z_n = w^n$  ein

$$w^2 - 2 \frac{u}{x} w + 1 = 0$$

$$\rightarrow w_{\pm} = \frac{u}{x} \pm \sqrt{\left(\frac{u}{x}\right)^2 - 1}$$

2 Lösungen

Stabilität bei  
Vorwärtsiteration wenn  
 $|w| \leq 1$



Chebyshev:  $z_n = w^n$ :

$$w^2 - 2x w + 1 = 0 \rightarrow w_{\pm} = x \pm \sqrt{x^2 - 1} ; -1 \leq x \leq 1$$

$$|w_{\pm}| = 1$$

$\rightarrow$  beide Lösungen stabil

Legendre: Im Limes  $n \rightarrow \infty \approx$  Chebyshev

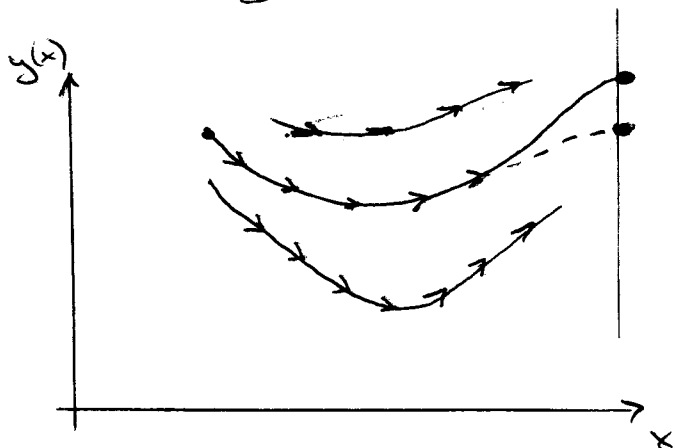
$\rightarrow$  beide Lösungen stabil

# gewöhnliche Differentialgleichungen

$$\frac{dy}{dx} = f(x, y) \quad ; \quad y(x_0) = y_0$$

Anfangswert

Strömungsdiagramm



Rundungsefehler führen zur Abweichung von der Flusslinie

Beispiel:  $\frac{dy}{dx} = \frac{1}{4}xy - 1$

$$\Rightarrow y(x) - y_0 = \int_{x_0}^x dx' f(x', y(x'))$$

$$x = x_0 + h \quad , \quad h = \text{Schrittweite}$$

$$y(x_0 + h) = y_0 + h f(x_0, y(x_0)) + o(h^2)$$

$\underbrace{\hspace{10em}}$   
:= f Tangenten-  
steigung im  
Ausgangspunkt

↳ "einfaches Eulersches Verfahren"

Polynom:  $y_{n+1} = y_n + h f_n \quad ; \quad f_n = f(x_n, y_n)$

Einschrittverfahren: Näherung  $y_{n+1}$  am neuen Punkt

$x_{n+1} = x_n + h$  wird allein aus der Näherung  $y_n$  an den Stellen  $x_n$  und Schrittweite  $h$  berechnet

$$y(x_0+h) = y(x_0) + h \frac{f_0 + f(x_0+h, y(x_0+h))}{2} + o(h^3)$$

Polygonzug:  $y_{n+1} = y_n + \frac{h}{2} (f_n + f_{n+1}) + o(h^3)$  (□)

Näherung redds:  $y(x_0+h) = y_0 + h f_0$

$$\rightarrow \boxed{y(x_0+h) = y(x_0) + \frac{h}{2} [f_0 + f(x_0+h, y_0 + h f_0)]}$$

verbessertes Eulersches Verfahren

□ ist Pendant zu Trapezregel.

geg. Simpsonsche Regel:  $\int_a^x dx f(x) = \frac{h}{3} (f_0 + 4f_1 + f_2) + o(h^5)$

hier:

$$\boxed{y_{n+2} = y_n + \frac{h}{3} (f_n + 4f_{n+1} + f_{n+2}) + o(h^5)}$$

### Runge-Kutta-Verfahren

$$y_{n+1} = y(x_{n+1}) \stackrel{\text{(Taylor)}}{=} y_n + h f_n + \frac{h^2}{2} \left( \underbrace{f_{n,x_n}}_{\frac{df_n}{dx_n}} + f_n \underbrace{\frac{df_n}{dy_n}} \right) + o(h^3)$$

$f_n = f(x_n, y_n)$

$$\stackrel{!}{=} y_n + c_1 k_1 + c_2 k_2 \quad (2. \text{ Ordnung})$$

$$k_1 \equiv h f_n = h f(x_n, y_n)$$

$$k_2 \equiv h f(x_n + a_2 h, y_n + b_{21} k_1)$$

$$k_2 \stackrel{\text{Taylor}}{\approx} h f_n + a_2 h^2 f_{n,x_n} + h b_{21} k_1 f_{n,y_n}$$

Vergleich:  $h f_n + \frac{h^2}{2} (f_{n,x_n} + f_n f_{n,y_n}) \stackrel{!}{=} h (c_1 + c_2) \overset{f_n}{\overset{!}{\cdot}} + h^2 c_2 \cdot (a_2 f_{n,x_n} + b_{21} f_n f_{n,y_n})$

$$c_1 + c_2 = 1, \quad a_2 = b_{21} \overset{!}{=} 1, \quad c_2 a_2 = \frac{1}{2}$$

$$i) c_1 = c_2 = \frac{1}{2}, \quad a_2 = b_{21} = 1 :$$

$$y_{n+1} = y_n + \frac{1}{2}(k_1 + k_2) + O(h^3)$$

(verb. Eulersches Verfahren)

$$k_1 = h f_n$$

$$k_2 = h f(x_n + h, y_n + k_1)$$

$$ii) c_1 = 0, \quad c_2 = 1, \quad a_2 = b_2 = \frac{1}{2} :$$

$$y_{n+1} = y_n + k_2$$

$$k_1 = h f_n$$

$$k_2 = h f(x_n + \frac{1}{2}h, y_n + \frac{1}{2}k_1)$$

Beliebigste Integrationsmethode :

Runge-Kutta-Verfahren vierte Ordnung

$$y_{n+1} = y_n + \frac{1}{6}(k_1 + 2k_2 + 2k_3 + k_4) + O(h^5)$$

$$k_1 = h f_n$$

$$k_2 = h f(x_n + \frac{h}{2}, y_n + \frac{k_1}{2})$$

$$k_3 = h f(x_n + \frac{h}{2}, y_n + \frac{k_2}{2})$$

$$k_4 = h f(x_n + h, y_n + k_3)$$

14.12.06

Vereinfachung:  $f = f(x)$

$$y_{n+1} = y_n + \frac{h}{6} [f(x_n) + 4f(x_n + \frac{h}{2}) + f(x_n + h)]$$

$$\stackrel{h=2h'}{=} y_n + \frac{h'}{3} [f(x_n) + 4f(x_n + h') + f(x_n + 2h')]$$

(Simpsonsche  $\frac{1}{3}$ -Regel)

## Schrittweitensteuerung, Adaptive Schrittweite

Schrittweite vergrößern oder verkleinern, wo es angebracht ist:

Nehme Schrittweite  $h$  und  $\frac{h}{2}$  und vergleiche die beiden Ergebnisse miteinander - ist der Unterschied klein, dann wird vermutlich auch der Fehler klein sein.

→ Ist Fehler größer als zulässig: halbiere Schrittweite

→ Ist Fehler klein (unter vorgegebenen Wert): verdopple Schrittweite

19.12.06

## Fourier - Transformation

Entwicklung nach orthogonale Funktionen

Betrachte: vollständiger Satz von Funktion  $\psi_n(x)$   
auf dem Intervall  $[a; b]$

Orthogonal: 
$$\int_a^b dx \psi_n(x) \psi_m(x) = \delta_{nm}$$

beliebige Funktion lässt sich in eine Reihe nach  $\psi_n$  entwickeln:

$$f(x) = \sum_n a_n \psi_n(x)$$

$$\begin{aligned} \int_a^b dx \psi_n^* f(x) &= \sum_m a_m \underbrace{\int_a^b dx \psi_n^* \psi_m}_{=\delta_{nm}} \\ &= a_n \end{aligned}$$

Vollständigkeitsrelation: 
$$\sum_n \psi_n^*(x') \psi_n(x) = \delta(x-x')$$

Fourierentwicklung

$$f(x) = \sum_{n=-\infty}^{+\infty} c_n \cdot e^{i \cdot 2\pi n x / L}$$

$$c_n = \frac{1}{L} \int_{-L/2}^{+L/2} dx f(x) e^{-i \cdot 2\pi n x / L}$$

$$c_0 = \frac{g}{2}$$

$$c_n = \frac{1}{2} (a_n - i b_n)$$

$$\lim_{L \rightarrow \infty} \frac{2\pi n}{L} \rightarrow k$$

$$\frac{2\pi \overset{\approx 1}{\Delta n}}{L} = \Delta k$$

$$\sum_n \Delta n \rightarrow \frac{L}{2\pi} \int dk$$

$$\Rightarrow f(x) = \frac{1}{2\pi} \int_{-\infty}^{+\infty} dk f(k) \cdot e^{+ikx}$$

Komplexe Darstellung

$$f(t) = \sum_{k=0}^{+\infty} c_k e^{-i\omega_k t}$$

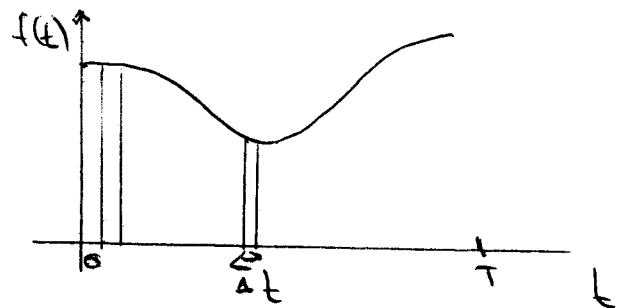
$$c_k = \frac{1}{T} \int_0^T dt f(t) e^{i\omega_k t}$$

$$\rightarrow \sum_{k=0}^{N-1} f_m e^{i\omega_k t}$$

$$f_m \equiv f(t_m) = f(m \cdot \Delta t)$$

$$\rightarrow \sum_{k=0}^{N-1} f_m e^{i\omega_k (m \Delta t)}$$

$\omega_k = \frac{2\pi k}{T}$ , Intervall  $[0, T]$



$$f(t) = \sum_{n=-\infty}^{\infty} c_n e^{-i\omega_n t} \quad ; \quad \omega_n = \frac{2\pi n}{T}$$

$$c_n = \sum_{m=0}^{N-1} f_m \cdot e^{i2\pi n m / N}$$

diskrete Fouriertransformierte  
(DFT)

$N$  bekannte Größen:  $f_m$ ,  $m=0 \dots (N-1)$

können Transformierte nur für  $N$  Frequenzen berechnen

Betrachte:

$$\sum_{n=0}^{N-1} c_n e^{-i2\pi n m / N} = \sum_{n=0}^{N-1} \sum_{m'=0}^{N-1} f_{m'} \cdot e^{-i2\pi n (m-m') / N}$$

$$= N \cdot \sum_{m'} f_{m'} \quad (\square)$$

$$= N \cdot f_m$$

$$\rightarrow f_m = \frac{1}{N} \sum_{n=0}^{N-1} c_n e^{-i2\pi n m / N}$$

Beweis von  $(\square)$ :

$$\sum_{n=0}^{N-1} e^{-i2\pi n (m-m') / N} = \sum_{n=0}^{N-1} r^n, \quad r = e^{-i2\pi (m-m') / N}$$

$$= \begin{cases} N, & m = m' \\ 1 + r + r^2 + \dots + r^{N-1} = \frac{1-r^N}{1-r} \\ & = \frac{1-1}{1-r} \\ & = 0 \end{cases}$$

$$= 0; \quad m \neq m'$$

Aufwand:  $\begin{matrix} N \\ \uparrow \\ c_n \end{matrix} \times \begin{matrix} N \\ \uparrow \\ n=0,1,\dots,N-1 \end{matrix} = N^2 \text{ Operationen}$

nicht durchführbar für große  $N$  !



# Fast - Fourier - Transform

$$C_n = \sum_{m=0}^{N-1} f_m e^{i2\pi nm/N}$$

$$= \sum_{m=0}^{N/2-1} f_{2m} \cdot e^{i2\pi n(2m)/N} + \sum_{m=0}^{N/2-1} f_{2m+1} e^{i2\pi n(2m+1)/N}$$

↑
↑

DFT mit halb  
So vielen Punkten
idem.  
mit geradem N

$$(1) \quad C_n = \sum_{m=0}^{N/2-1} f_{2m} (\omega^{2m})^n + \omega^n \sum_{m=0}^{N/2-1} f_{2m+1} (\omega^{2m})^n ; \quad \omega = e^{i2\pi/N}$$

$$(2) \quad C_{n+N/2} = \sum_{m=0}^{N/2-1} f_{2m} (\omega^{2m})^n + \omega^{n+N/2} \sum_{m=0}^{N/2-1} f_{2m+1} (\omega^{2m})^{n+N/2}$$

jetzt:  $n = 0, 1, \dots, N/2-1$

$$(\omega^{2m})^{n+N/2} = (\omega^{2m})^n \cdot \underbrace{\omega^{2m \cdot N/2}}_{=1} = (\omega^{2m})^n$$

$$\omega^{n+N/2} = \omega^n \cdot \omega^{N/2} = -\omega^n$$

→ umschreiben

$$(2^*) \quad C_{n+N/2} = \sum_{m=0}^{N/2-1} f_{2m} (\omega^{2m})^n - \omega^n \sum_{m=0}^{N/2-1} f_{2m+1} (\omega^{2m})^n$$

$$C_n = C_n^{(e)} + \omega^n C_n^{(o)}$$

$$C_{n+N/2} = C_n^{(e)} - \omega^n C_n^{(o)}$$

$$n = 0, 1, \dots, N/2-1$$

$$C_n^{(e)} = \sum_{m=0}^{\frac{1}{2}N/2-1} [f_{4m}(\omega^{4m})^n + f_{4m+2}(\omega^{4m+2})^n]$$

$$= \sum_{m=0}^{\frac{1}{2}N/2-1} [f_{4m}(\omega^{4m})^n + \omega^{2m} f_{4m+2}(\omega^{4m})^n] \quad \text{für } n=0 \dots \frac{1}{2}N/2-1$$

$$C_{n+\frac{1}{2}N/2}^{(e)} = \sum_{m=0}^{\frac{1}{2}N/2-1} [f_{4m}(\omega^{4m})^{n+\frac{1}{2}N/2} + f_{4m+2}(\omega^{4m+2})^{n+\frac{1}{2}N/2}]$$

$$= \sum_{m=0}^{\frac{1}{2}N/2-1} [f_{4m}(\omega^{4m})^n - \omega^{2m} f_{4m+2}(\omega^{4m})^n]$$

usw. (divide & conquer)

Aufwand:  $T(N) = \frac{N}{2} \log_2(N)$

$$C_0 = f_0 + f_2 + f_1 + f_3$$

$$C_1 = f_0 - f_2 + \omega(f_1 - f_3)$$

$$C_2 = f_0 + f_2 - (f_1 + f_3)$$

$$C_3 = (f_0 - f_2) - \omega(f_1 - f_3)$$

$$C_4 = \dots$$

vgl.  $C_n = \sum_{m=0}^3 f_m e^{i2\pi nm/4}$

9.1.07

DFT :  $f_n = \frac{1}{N} \cdot \sum_{m=0}^{N-1} c_m e^{-i 2\pi n m / N}$

$$\operatorname{Re}(c_n) = \sum \left[ \operatorname{Re}(f_m) \cos\left(\frac{2\pi n}{N} m\right) - \operatorname{Im}(f_m) \sin\left(\frac{2\pi n}{N} m\right) \right]$$

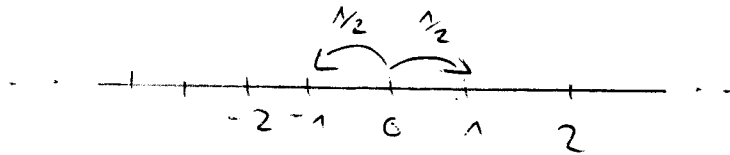
$$\operatorname{Im}(c_n) = \sum \operatorname{Im}(f_m) \cos\left(\frac{2\pi n}{N} m\right) + \operatorname{Re}(f_m) \sin\left(\frac{2\pi n}{N} m\right)$$

FFT

$$c_n = \sum_{m=0}^{\frac{N}{2}-1} f_{2m} (\omega^{2m})^n + \omega^n \sum_{m=0}^{\frac{N}{2}-1} f_{2m+1} (\omega^{2m})^n, \quad n=0, 1, \dots, \frac{N}{2}-1$$

$\omega = e^{i 2\pi / N}$

$$c_{n+\frac{N}{2}} = \sum_{m=0}^{\frac{N}{2}-1} f_{2m} (\omega^{2m})^n - \omega^n \sum_{m=0}^{\frac{N}{2}-1} f_{2m+1} (\omega^{2m})^n$$

Zufallsbewegung (1D)

Gitterabstand

gesucht:

$P_n(0 \rightarrow j)$ : Wahrscheinlichkeit, dass der RW sich nach  $n$  Schritten am  $j$ -Gitterpunkt befindet

Rekursionsrelation:

$$P_n(0 \rightarrow j) = \frac{1}{2} [P_{n-1}(0 \rightarrow j-1) + P_{n-1}(0 \rightarrow j+1)]$$

mit  $P_0(0 \rightarrow j) = \delta_{j,0}$ 

$$\text{Lösung: } P_n(0 \rightarrow j) = \frac{n!}{2^n} \frac{1}{\left(\frac{n-j}{2}\right)! \left(\frac{n+j}{2}\right)!}$$

$$= \frac{1}{2^n} \binom{n}{\frac{n+j}{2}}$$

für  $|j| < n$ ,  $n+j$  gerade

$$\text{Für } n \gg 1 \quad n! \approx \sqrt{2\pi} n^{n+\frac{1}{2}} e^{-n}$$

$$\left(\frac{n-j}{2}\right)! \approx \sqrt{2\pi} \left(\frac{n-j}{2}\right)^{\frac{n-j}{2}+\frac{1}{2}} e^{-(n-j)/2}$$

$$P_n(0 \rightarrow j) \approx \frac{1}{2^n} \sqrt{2\pi} n^{n+\frac{1}{2}} e^{-x} \frac{1}{\sqrt{2\pi}} \frac{e^{+(n-j)/2}}{\left(\frac{n-j}{2}\right)^{\frac{n-j+1}{2}}} \cdot \frac{1}{\sqrt{2\pi}} \frac{e^{+(n+j)/2}}{\left(\frac{n+j}{2}\right)^{\frac{n+j+1}{2}}}$$

$$\approx \frac{n^{n+\frac{1}{2}}}{2^n} \frac{1}{\sqrt{2\pi}} \frac{e^{\frac{n-j+1}{2} + \frac{n+j+1}{2}}}{(n-j)^{\frac{n-j+1}{2}} (n+j)^{\frac{n+j+1}{2}}}$$

$$P_n(0 \rightarrow j) = n^{n+\frac{1}{2}} \sqrt{\frac{2}{\pi}} e^{-z} \quad ; \quad z = \frac{n-j+1}{2} \ln(n-j) + \frac{n+j+1}{2} \ln(n+j)$$

$\uparrow$   
 $a^b = e^{b \ln a}$

$$= n^{n+\frac{1}{2}} \sqrt{\frac{2}{\pi}} e^{-j^2/2n}$$

$$P_n(0 \rightarrow j) \approx \sqrt{\frac{2}{\pi n}} e^{-j^2/2n}$$

ungewöhnlich normierte  
Gauß-Verteilung

Normierung

Es muss gelten:  $\sum_j P_n(0 \rightarrow j) = 1$ ,  $n+j$  gerade  
 $\rightarrow \Delta j = 2 \quad |j| \leq n$

$$\rightarrow \frac{1}{2} \sum_{-\infty}^{+\infty} \Delta j P_n(0 \rightarrow j) = 1$$

Übergang zum Kontinuum ( $a \downarrow$ )  $x = j \cdot a$

$$P_{n+1}(0 \rightarrow x) = \frac{1}{2} (P_n(0 \rightarrow x+a) + P_n(0 \rightarrow x-a))$$

$$P_n(0 \rightarrow x+a) = P_n(0 \rightarrow x) + a P_n'(0 \rightarrow x) + \frac{1}{2} a^2 P_n''(x) + \dots$$

$$P_{n+1}(0 \rightarrow x) = P_n(0 \rightarrow x) + \frac{\partial P_n(0 \rightarrow x)}{\partial n} + \dots$$

$$\rightarrow \boxed{\frac{\partial P_n}{\partial n} = \frac{1}{2} a^2 P_n''}$$

Diffusionsgleichung

Lösung für  $P_n = \frac{P_n}{a}$

$$P_n(0 \rightarrow x) = \left( \frac{1}{2\pi n a^2} \right)^{1/2} \exp \left[ -\frac{1}{2} \frac{x^2}{n \cdot a^2} \right]$$

$$n a^2 \rightarrow \text{const}$$

## RW in D-dim.

- Pseudocode:

```
while l < n {  
  Ziehe nächsten Nachbarn  $\in \{1, 2, \dots, 2d\}$   
  gehe dahin  
  l++  
}
```

- Rekursionsrelation:  $P_n(\vec{x} \rightarrow \vec{x}') = \frac{1}{2d} \sum_{\pm \hat{e}} P_{n-1}(\vec{x} + a\hat{e} \rightarrow \vec{x}')$

$\hat{e}$ : Einheitsvektor in  $i$ -Richtung

$$\text{mit } P_0(\vec{x} \rightarrow \vec{x}') = \delta_{\vec{x}\vec{x}'}$$

- Subtrahiere:

$$P_n(\vec{x} \rightarrow \vec{x}') - P_{n-1}(\vec{x} \rightarrow \vec{x}') = \frac{1}{2d} \sum_{\pm \hat{e}} [P_{n-1}(\vec{x} + a\hat{e} \rightarrow \vec{x}') - P_{n-1}(\vec{x} \rightarrow \vec{x}')]$$

Limes  $a \rightarrow 0$ ,  $n \rightarrow \infty$

$$\frac{\partial}{\partial n} P_n(\vec{x} \rightarrow \vec{x}') = \frac{a^2}{2d} \nabla^2 P_n(\vec{x} \rightarrow \vec{x}')$$

$\rightarrow$  hier:  $n-1 \approx n$

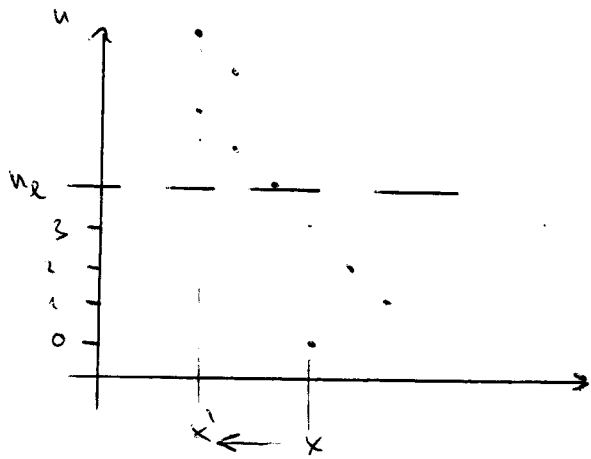
- 3-Punkte-Ausdruck:

$$\frac{d^2}{dx^2} f(x) = f''(x) = \frac{f(x+a) - 2f(x) + f(x-a)}{a^2} + O(a^2)$$

- Lösung für  $P_n = \frac{P_n}{a^d}$   $\rightarrow$

$$P_n(\vec{x} \rightarrow \vec{x}') = \left( \frac{d}{2\pi n a^2} \right)^{d/2} \exp \left[ -\frac{d}{2} \frac{|\vec{x} - \vec{x}'|^2}{n a^2} \right]$$

Gaußsche Verteilung



$$P_n(\vec{x} \rightarrow \vec{x}') =$$

$$\int d^d x P_{n_2}(\vec{x} \rightarrow \vec{x}') \cdot P_{n-n_2}(\vec{x}_2 \rightarrow \vec{x}')$$

Chapman-Kolmogorov-Gleichung:  
Zwischenstop ist möglich

16.1.07

Beweisansatz der Chapman-Kolmogorov-Gleichung:

$$\int_{-\infty}^{+\infty} d^d x_2 e^{-c_1(\vec{x} - \vec{x}_2)^2} \cdot e^{-c_2(\vec{x}_2 - \vec{x}')^2}$$

$$= \frac{\pi}{(c_1 + c_2)^{d/2}} e^{-\frac{c_1 c_2}{c_1 + c_2} (\vec{x} - \vec{x}')^2} \quad (\text{ Gauß })$$

Die Schritte lassen sich beliebig aufspalten, bis nur noch Einzelschritte gemacht werden

$$\Rightarrow P_n(\vec{x} \rightarrow \vec{x}') = \left[ \prod_{l=1}^{n-1} \int_{-\infty}^{+\infty} d^d x_l P_1(\vec{x}_{l-1} \rightarrow \vec{x}_l) \right] P_1(\vec{x}_{n-1} \rightarrow \vec{x}')$$

$$= \left[ \prod_{l=1}^{n-1} \left( \frac{d}{2\pi a^2} \right)^{d/2} \int d^d x_l \right] \frac{d^{d/2}}{2\pi a^2} \exp \left[ -\frac{d}{2} \sum_{l=1}^{n-1} \frac{(\vec{x}_{l-1} - \vec{x}_l)^2}{a^2} \right]$$

$$= \int D\vec{x} \cdot \exp \left[ -\frac{d}{2} \frac{(\vec{x}_n - \vec{x}_{n-1})^2}{a^2} \right]$$

$$= \int D\vec{x} \exp \left[ -\frac{d}{2} \sum_{l=1}^{n-1} \frac{(\vec{x}_{l-1} - \vec{x}_l)^2}{a^2} \right]$$

$$\frac{d}{2} \sum_{l=1}^n \frac{(\vec{x}_{2l} - \vec{x}_{2l-1})^2}{a^2} = \frac{1}{4} \sum_{l=1}^n \frac{a^2}{2d} \frac{(\vec{x}_l - \vec{x}_{l-1})^2}{(a^2/2d)^2}$$

definiere :  $S := \frac{a^2}{2d} l$       $\Delta S = \frac{a^2}{2d} \Delta l$

... =  $\frac{1}{4} \int ds \dot{\vec{x}}^2(s)$  ,  $\dot{\vec{x}} = \frac{d\vec{x}}{ds}$

$S_n = \frac{a^2}{2d} n \rightarrow \text{kont.}$

$$P_n(\vec{x} \rightarrow \vec{x}') = \int D\vec{x} \exp \left[ -\frac{1}{4} \int_0^{S_n} ds \dot{\vec{x}}^2(s) \right]$$

Wienerisches Integral

Integraldarstellung der Diffusionsgleichung

$P_n(\vec{x} \rightarrow \vec{x}')$  : als Summe über alle möglichen Pfade von  $\vec{x}$  nach  $\vec{x}'$

Jeder Pfad ist gewichtet mit einem Faktor

$$\exp \left[ -\frac{1}{4} \int_0^{S_n} ds \dot{\vec{x}}^2 \right]$$

lange Pfade :  $\dot{\vec{x}}$  groß  $\rightarrow$  exponentiell unterdrückt

brauchen nicht berücksichtigt werden

$$P_n(\vec{x} \rightarrow \vec{x}') = \sum_{\text{Pfade}} e^{-S_0} , \quad S_0 = \frac{1}{4} \int_0^{S_n} ds \dot{\vec{x}}^2$$

Schreibe :  $P_n(\vec{R}) = P_n(\vec{x} \rightarrow \vec{x}') = \left[ \prod_{l=1}^{n-1} \int d\vec{x}_l P_l(\vec{x}_l) \right] P_n(\vec{x}_n)$

$\vec{R} = \vec{x}' - \vec{x} = \vec{x}_n - \vec{x}_0$



$\vec{x}_n = \vec{x}_2 \quad \vec{x}_{2l-1}$

$$P_n(\vec{R}) = \int \prod_{l=1}^n d\vec{x}_l P_l(\vec{x}_l) \delta(\vec{R} - \sum_{l=1}^n \vec{r}_l) = \left( \frac{d}{2\pi n a^2} \right)^{d/2} e^{-\frac{d}{2n a^2} \vec{R}^2}$$

Endabstandsverteilung



# Gyrationradius

$$\text{Zuerst: } \langle \vec{R}^2 \rangle_n = \int d\vec{R} \vec{R}^2 P_n(\vec{R})$$

$$= \left( \frac{d}{2\pi n a^2} \right)^{d/2} \int_{\mathbb{R}^d} d\vec{R} R^{d+1}$$

$$\hookrightarrow \text{Kugeloberfläche } \mathcal{R}_d = \frac{2\pi^{d/2}}{\Gamma(d/2)}$$

$$= n a^2 \quad (*)$$

$$= \begin{cases} 2\pi & d=2 \\ 4\pi & d=3 \\ 2\pi^2 & d=4 \end{cases}$$

Gyrationradius  $R_n^2$  (nicht zusammenhängend mit R.o.ü.)

$$R_n^2 = \frac{1}{n} \sum_{l=1}^n \langle (\vec{x}_l - \vec{x})^2 \rangle$$

$$= \frac{1}{2n^2} \sum_{l,m=1}^n \langle (\vec{x}_l - \vec{x}_m)^2 \rangle$$

$$= \frac{1}{2n^2} \sum_{l,m=1}^n |l-m| a^2$$

$$= \frac{1}{2n^2} \int_0^l dl \int_0^l dm |l-m| a^2$$

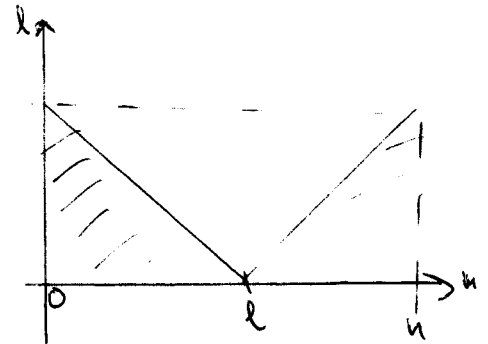
$$= \frac{1}{n^2} \int_0^l dl \int_0^l dm (l-m) a^2$$

$$= \frac{1}{6n^2} a^2 \cdot n^3$$

$$= \frac{1}{6} n a^2$$

Schwerpunkt:

$$\vec{x} = \frac{1}{n} \sum_{l=1}^n \vec{x}_l$$

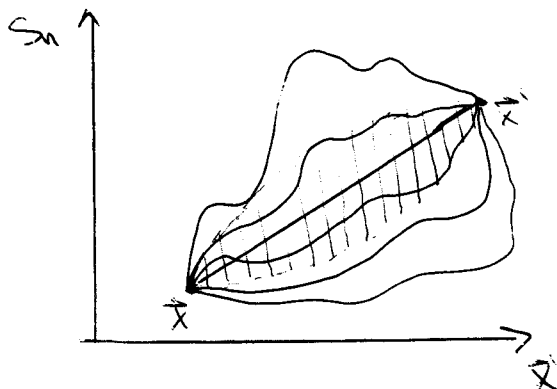


$$R_n \sim n^{1/2}$$

verallgemeinert:

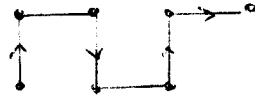
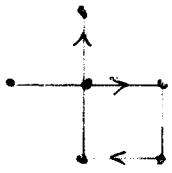
$$R_n \sim n^{1/D}$$

D. Hausdorff-fraktale-Dimension



exponentielle Unterdückung!

# Selbstmeidende Zufallsbewegungen (SAW)

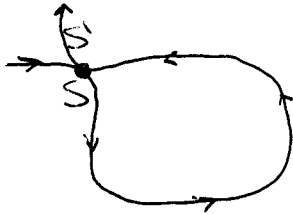


Brownsche Zufallsbewegung: keine Beschränkungen

Edwardsches Modell (Kontinuum):

Für  $P_n(\vec{x} \rightarrow \vec{x}') = \int D\vec{x} \exp[-S_0] \cdot S_0^{-1} \int_0^{s_n} ds \dot{\vec{x}}^2(s)$   
(s.o.)

$$S = S_0 + \gamma \int_0^{s_n} ds \int_0^{s_n} ds' \delta(\vec{x}(s) - \vec{x}(s')) \quad \text{Zusatz}$$



Knoten tragen jetzt ein Gewicht  $e^{-\gamma}$

Dies wirkt sich auch auf die fraktale Dimension aus (nach Flory):

$$S \sim n \frac{R_n^2}{n^2} + \gamma n^2 \cdot \frac{1}{R_n^d}$$

$$\frac{\partial S}{\partial R_n} \stackrel{!}{=} 0 \quad ; \quad \frac{R_n}{n} - \gamma \frac{n^2}{R_n^{d+1}} = 0$$

$$\Rightarrow \boxed{R_n^{d+2} \sim \gamma n^3}$$

$$R_n \sim n^{3/(d+2)}$$

$$\Rightarrow \boxed{D = \frac{d+2}{3}}$$

zeitabhängige SG :  $i\hbar \frac{\partial}{\partial t} \psi(\vec{x}, t) = \hat{H} \psi(\vec{x}, t)$  (\*)

Entwicklung nach Basisvektoren  $u_n(\vec{x})$  :

$$\hat{H} u_n(\vec{x}) = E_n u_n(\vec{x})$$

$$\psi(\vec{x}, t) = \sum_n c_n u_n e^{-iE_n t/\hbar}$$

Entwicklungskoeffizienten :  $c_n = \int d\vec{x} u_n^*(\vec{x}) \psi(\vec{x}, 0)$

Benutzt :  $\int d\vec{x} u_n^*(\vec{x}) u_m(\vec{x}) = \delta_{n,m}$

$$\begin{aligned} \psi(\vec{x}, t) &= \sum_n \int d\vec{x}' u_n^*(\vec{x}') \psi(\vec{x}', 0) e^{-iE_n t/\hbar} u_n(\vec{x}) \\ &= \int d\vec{x}' k(\vec{x}, t \leftarrow \vec{x}', 0) \psi(\vec{x}', 0) \end{aligned}$$

$$k(\vec{x}, t \leftarrow \vec{x}', 0) = \sum_n u_n(\vec{x}) e^{-iE_n t/\hbar} u_n^*(\vec{x}')$$

$k$  ist der Zeitentwicklungsoperator  
("Propagator")

(\*)  $\rightarrow i\hbar \frac{\partial}{\partial t} k(\vec{x}, t \leftarrow \vec{x}', 0) = \hat{H} k(\vec{x}, t \leftarrow \vec{x}', 0)$

imaginäre Zeit  $t = -i\tau$  ( $\hat{H} = \hat{H}_0$ )

$$\boxed{i\hbar \frac{\partial}{\partial t} k(\vec{x}, \tau \leftarrow \vec{x}', 0) = \frac{\hbar^2}{2m} \nabla^2 k(\vec{x}, \tau \leftarrow \vec{x}', 0)} \quad (**)$$

vgl. Diffusionsgleichung

$$\frac{\partial}{\partial \tau} P_u(\vec{x} \rightarrow \vec{x}') = \frac{\alpha^2}{2d} \nabla^2 P_u(\vec{x} \rightarrow \vec{x}')$$

$$S = \frac{\alpha^2}{2d} u : \boxed{\frac{\partial}{\partial S} P_S(\vec{x} \rightarrow \vec{x}') = \nabla^2 P_S(\vec{x} \rightarrow \vec{x}')} \quad (***)$$

$$\rightarrow S \hat{=} \frac{\hbar}{2m} \tau$$

Die Bogulängs entspricht der Newtonschen Zeit  
 $\frac{\hbar}{2m} \tau$

Formale Lösung von (\*\*): (wieder mit vollem  $\hat{H}$ )

$$\hat{K}(t, 0) = e^{-\frac{i}{\hbar} \hat{H} t}$$

Amplitude für die Übergangswahrscheinlichkeit

$$\langle \vec{x}', t' | \vec{x}, t \rangle = \langle \vec{x}' | \hat{K}(t', t) | \vec{x} \rangle$$

Schrödinger-  
bild

Heisenbergbild

Zeitgitterung:

$$= \langle \vec{x}' | \hat{K}(t', t_{n-1}) \hat{K}(t_{n-1}, t_{n-2}) \dots \dots \hat{K}(t_2, t_1) \hat{K}(t_1, t) | \vec{x} \rangle$$

Unterform in Integraldarstellung (analog zum RW):

Dabei wird genutzt, dass  $1 = \int_{-\infty}^{\infty} d\vec{x} |\vec{x}\rangle \langle \vec{x}|$ ,

$$\langle \vec{x}' | \vec{x} \rangle = \delta(\vec{x} - \vec{x}')$$

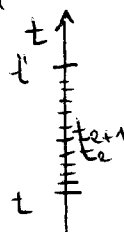
Dies wird eingeschrieben in

$$\langle \vec{x}' | \hat{K}(t', t_{n-1}) \underset{1}{\uparrow} \hat{K}(t_{n-1}, t_{n-2}) \underset{1}{\uparrow} \dots \underset{1}{\uparrow} \hat{K}(t_1, t) | \vec{x} \rangle$$

$n-1$  Einschübe

$$\Rightarrow \langle \vec{x}', t' | \vec{x}, t \rangle = \left( \prod_{k=1}^{n-1} \int_{-\infty}^{\infty} d\vec{x}_k \right) \prod_{k=1}^n \langle \vec{x}_k, t_k | \vec{x}_{k-1}, t_{k-1} \rangle$$

mit:  $\vec{x}_0 = \vec{x}, t_0 = t$   
 $\vec{x}_n = \vec{x}', t_n = t'$



$$\epsilon := t_k - t_{k-1} = \frac{t - t'}{n}$$

Volle Rechnung analog zu Chapman - Homogener -  
Betrachtung beim RW

$$\langle \vec{x}_2, t_2 | \vec{x}_1, t_1 \rangle = \langle \vec{x}_2 | e^{-i \frac{\epsilon}{\hbar} \hat{H}} | \vec{x}_1 \rangle$$

$$\hat{H} = \hat{T} + \hat{V}$$

$$1 = \int \frac{d\vec{k}}{(2\pi)^d} |\vec{k}\rangle \langle \vec{k}|, \quad \langle \vec{k} | \vec{k}' \rangle = (2\pi)^d \delta(\vec{k} - \vec{k}')$$

$$\langle \vec{x} | \vec{k} \rangle = e^{-i\vec{k}\vec{x}} = \langle \vec{k} | \vec{x} \rangle^*$$

$$\begin{aligned} \psi(\vec{x}) = \langle \vec{x} | \psi \rangle &= \int \frac{d\vec{k}}{(2\pi)^d} \langle \vec{x} | \vec{k} \rangle \langle \vec{k} | \psi \rangle \\ &= \int \frac{d\vec{k}}{(2\pi)^d} e^{i\vec{k}\vec{x}} \psi(\vec{k}) \end{aligned} \quad \text{IFT}$$

$$\epsilon \text{ klein: } e^{-i \frac{\epsilon}{\hbar} \hat{H}} \approx e^{-i \frac{\epsilon}{\hbar} \hat{V}} e^{-i \frac{\epsilon}{\hbar} \hat{T}} \cdot e^{-i \frac{\epsilon}{\hbar} \frac{1}{2} [\hat{V}, \hat{T}]} \quad \leftarrow$$

(Baker-Hausdorff)

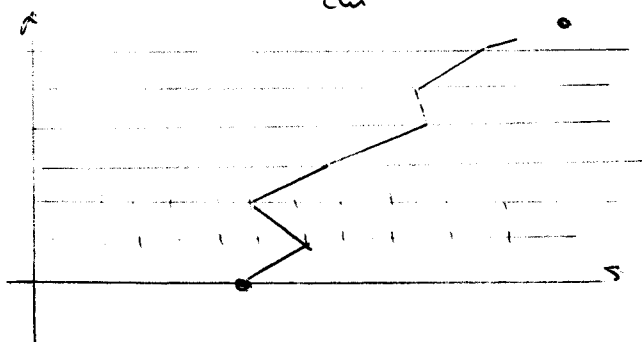
[ ... ]

$\lim_{\substack{\epsilon \rightarrow 0 \\ \hbar \rightarrow \infty}}$

$$\langle \vec{x}', t' | \vec{x}, t \rangle \rightarrow \int D\vec{x}(t) e^{i/\hbar S[\vec{x}(t)]}$$

$$S[\vec{x}(t)] = \int_{t_1}^{t_2} dE \left[ \frac{1}{2} m \dot{\vec{x}}^2(\vec{x}) - V(\vec{x}(E)) \right]$$

verg.  $S \hat{=} \frac{i\hbar}{2m} t$



Gerichtung der versch.  
Pfade mit der  
Wirkung  $e^{i/\hbar S}$

30. 1. 07

Numerische Umsetzung: Metropolis-Methode

$$k(\vec{x}, t \leftarrow \vec{x}', 0) = \sum_n u_n(\vec{x}) \cdot e^{-E_n t / \hbar} u_n^*(\vec{x}') \quad 1)$$

$$\xrightarrow{T \rightarrow \infty} u_0(\vec{x}) u_0^*(\vec{x}') e^{-E_0 T / \hbar}$$

$$k(\vec{x}, t \leftarrow \vec{x}', 0) \rightarrow |u_0(\vec{x})|^2 e^{-E_0 T / \hbar}$$

$$\int d\vec{x}' k(\vec{x}, T \leftarrow \vec{x}', 0) \rightarrow e^{-E_0 T / \hbar}$$

$$\Rightarrow |u_0(\vec{x})|^2 = \lim_{T \rightarrow \infty} \frac{k(\vec{x}, T \leftarrow \vec{x}', 0)}{\int d\vec{x}' k(\vec{x}, T \leftarrow \vec{x}', 0)}$$

$$|u_0(\vec{x})|^2 = \frac{\int_{\vec{x}_0}^{\vec{x}} \prod_{k=1}^{n-1} S d\vec{x}_k \exp \left\{ -\frac{E_0}{\hbar} \sum_{k=1}^n \left[ \frac{1}{2} m \left( \frac{\vec{x}_k - \vec{x}_{k-1}}{\epsilon^i} \right)^2 + V(\vec{x}_k) \right] \right\}}{\int_{\vec{x}_0}^{\vec{x}} \prod_{k=1}^{n-1} S d\vec{x}_k \exp \left\{ -\frac{E_0}{\hbar} \sum_{k=1}^n \left[ \frac{1}{2} m \left( \frac{\vec{x}_k - \vec{x}_{k-1}}{\epsilon^i} \right)^2 + V(\vec{x}_k) \right] \right\}}$$

$t = -i\tau$   
 $\Delta t = -i\Delta\tau$   
 $\epsilon = \epsilon^i$   
 $\vec{x}_0 = \vec{x}'$   
 $\vec{x}_n = \vec{x}$

$$= \frac{1}{Z} \lim_{T \rightarrow \infty} \int_{\vec{x}_0}^{\vec{x}} \prod_{k=1}^{n-1} S d\vec{x}_k e^{-\frac{E_0}{\hbar} S} \quad ; \quad S = \sum_{k=1}^n \left[ \frac{1}{2} m \left( \frac{\vec{x}_k - \vec{x}_{k-1}}{\epsilon^i} \right)^2 + V(\vec{x}_k) \right]$$

$$Z = \lim_{T \rightarrow \infty} \int_{\vec{x}_0}^{\vec{x}_0} \prod_{k=1}^{n-1} S d\vec{x}_k e^{-\frac{E_0}{\hbar} S}$$

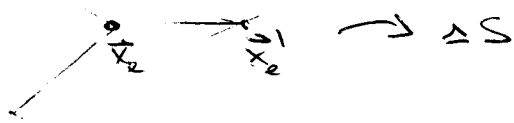
$$|u_0(\vec{x})|^2 = \frac{1}{Z} \lim_{T \rightarrow \infty} \left[ \int_{\vec{x}_0}^{\vec{x}} \prod_{k=1}^{n-1} S d\vec{x}_k \right] S(\vec{x}_n = \vec{x}) e^{-\frac{E_0}{\hbar} S}$$

Idee:  $\frac{e^{-\frac{E_0}{\hbar} S}}{Z} = P(\vec{x}_0, \vec{x}_1, \dots, \vec{x}_{n-1})$

Wahrscheinlichkeitsverteilung für die Werte  $\vec{x}_k$  der Atome

1) aus  $k(\vec{x}, t \leftarrow \vec{x}', 0) = \sum_n u_n(\vec{x}) \cdot e^{-iE_n t / \hbar} u_n^*(\vec{x}') \quad \text{mit } \tau := +it$

- Frage mit einem willkürlichen Pfad  $\vec{x}_0, \dots, \vec{x}_m$  an
- Wie gelangen wir ins Gleichgewicht?



$$P(x, i+1) = P(x, i) + \sum_{x'} [P(x', i) W(x' \rightarrow x) - P(x, i) W(x \rightarrow x')] ]$$

↑ Zustand nach i Iterationen

Gleichgewicht:  $P(x, i+1) = P(x, i) = P_g(x)$

→ "detailed balance":

$$P_g(x) W(x \rightarrow x') = P_g(x') W(x' \rightarrow x)$$

$$\frac{W(x \rightarrow x')}{W(x' \rightarrow x)} = \frac{P_g(x')}{P_g(x)} = \frac{e^{-\frac{E'}{k_B T} S(x')}}{e^{-\frac{E}{k_B T} S(x)}} = e^{-\frac{E'}{k_B T} \Delta S}$$

Wähle  $\begin{cases} W(x' \rightarrow x) = 1 & \text{wenn } W(x' \rightarrow x) > W(x \rightarrow x') \\ W(x \rightarrow x') = 1 & \text{sonst} \end{cases}$

$$W(x \rightarrow x') = \begin{cases} e^{-\frac{E'}{k_B T} \Delta S} & \Delta S > 0 \leftarrow \text{qu-Fluktuationen} \\ 1 & \Delta S < 0 \leftarrow \text{klassisch} \end{cases}$$

Sind wenn die Wirkung favorisiert (energetisch ungünstiger) gibt es noch eine Wahrscheinlichkeit für den Vorgang

# Metropolis - Pseudocode :

while ( $i < MCI$ ) {

MCI = Anzahl der MC-Schritte

wähle willkürlich ein Atom, setze

$$\vec{x}_2 \rightarrow \vec{x}_2' = \vec{x}_2 + (2 \cdot r - 1) \Delta \quad ; \quad r = \text{Zufallsz. } [0, 1)$$

und berechne  $\Delta S$

$\Delta =$  max. zugelassene Auslenkung (Param) muss geschickt gewählt werden (50% sollte akzeptiert werden)

wenn  $\Delta S < 0$  : akzeptiere

wenn  $\Delta S > 0$  : Ziehe Zufallszahl  $r'$  und akzeptiere Vorschlag wenn  $r' < e^{-\frac{\Delta S}{k_B T}}$

wenn akzeptiert :

$$h(j')++$$

$\vec{x}_2'$  in  $j'$ -bin

sonst

$$h(j)++$$

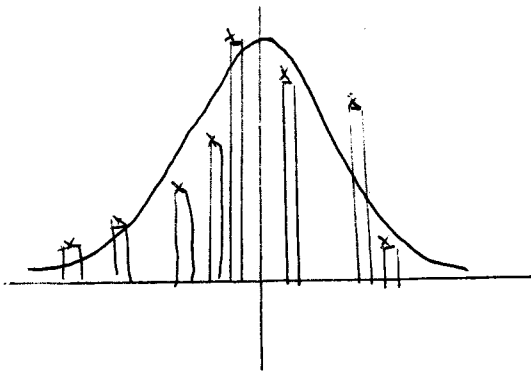
$\vec{x}_2$  in  $j$ -bin

$i++$

}

$$|\psi(\vec{x})|^2 = \frac{1}{\Delta x} \cdot \frac{1}{MCI} h(j)$$

$\vec{x}$  in  $j$ -bin



Ergebnisse folgen statistisch der Ergebniszielfunktion



# Perkolationsstheorie

Clusterverteilung:  $n_s \sim S^{-\tau} e^{-\beta s}$ ;  $\beta \propto |p - p_c|^{1/\nu}$

$\uparrow$  Entropiefaktor       $\uparrow$  Boltzmannfaktor

$n_s$ : Anzahl von Clustern mit  $s$  besetzten Gitterpunkten  
 $p_0$  Gitterpunkt

System wird charakterisiert durch die Parameter  $\tau$  und  $\sigma$

$f$ : Wahrscheinlichkeit, dass ein Gitterpunkt besetzt ist (Konzentration)

Interessant:

• mittlere Clustergröße:  $S = \frac{\sum' s^2 n_s}{\sum' s n_s}$ ;  $\sum'$ : perkolierendes Cluster ist ausgeschlossen von der Summe

$S \cdot n_s$ : Wahrscheinlichkeit, dass ein beliebiger Gitterpunkt zu einem  $s$ -Cluster gehört

$\sum' s n_s$ : Wahrscheinlichkeit, dass ein beliebiger Gitterpunkt zu irgendeinem endlich Cluster gehört

$\frac{S n_s}{\sum' s n_s}$ : Wahrscheinlichkeit, dass ein besetzter

Gitterpunkt zu einem  $s$ -Cluster gehört

$\rightarrow * S$  (Clustergröße)  $\rightarrow \sum'$  mittlere Größe

$P$ : Wahrscheinlichkeit dass ein beliebiger Gitterpunkt zum perkolierenden Cluster

$$P = P + \sum' S n_s$$

In der Nähe von  $P_c$ :

- $P \sim (P - P_c)^\beta$ ,  $P > P_c$ ,  $\beta$ : kritischer Exponent

In der Nähe der Perkolationschwelle:

$$\begin{aligned} P &\sim -\sum_s' s u_s \sim \int_0^\infty ds s \cdot s^{-\tau} e^{-\frac{ds}{\lambda}} \\ &= d^{\tau-2} \int_0^\infty dx x^{1-\tau} e^{-x} \\ &\sim (P - P_c)^{\frac{\tau-2}{d}} \end{aligned}$$

- $S \sim |P - P_c|^{-\gamma}$

$$\begin{aligned} S &= \frac{\sum_s' s^2 u_s}{\sum_s' s u_s} \sim \int_0^\infty ds s^2 s^{-\tau} e^{-\frac{ds}{\lambda}} \\ &= d^{\tau-3} \int_0^\infty dx x^{2-\tau} e^{-x} \\ &\sim |P - P_c|^{\frac{\tau-3}{d}} \end{aligned}$$

$$\boxed{\gamma = \frac{3-\tau}{d}}$$

- $\downarrow$  Zustandssumme  
 $\chi \sim \sum_s' u_s \sim |P - P_c|^{2-\alpha}$

$$\boxed{2-\alpha = \frac{\tau-1}{d} = 2\beta + \gamma}$$

- Gyrationradius:  $R_s^2 = \frac{1}{S} \sum_{i=1}^S |\vec{x}_i - \bar{\vec{x}}|^2$ ;  $\bar{\vec{x}}$ : Schwerpunkt  
 $\bar{\vec{x}} = \frac{1}{S} \sum_{i=1}^S \vec{x}_i$   
 $\sim S^{2/D}$

D: Hausdorff- oder fraktale Dimension

$$R_s^2 = \frac{1}{2S^2} \sum_{i,j=1}^S |\vec{x}_i - \vec{x}_j|^2$$

$\rightarrow R_s$  mittlerer Abstand zwischen 2 Gitterpunkten in einem  $S$ -Cluster

- Korrelationsfunktion:  $g(\vec{x}_i, \vec{x}_j)$ : Wahrscheinlichkeit, dass  $\vec{x}_i$  und  $\vec{x}_j$  zum Cluster gehören

weilens:  $g(\vec{x}_i, \vec{x}_j) = g(|\vec{x}_i - \vec{x}_j|)$

$\sum_{\vec{x}_j} g(\vec{x}_i, \vec{x}_j)$  = mittlere Anzahl der Gitterpunkte die zum Cluster gehören zu dem auch  $\vec{x}_i$  gehört

$$= S$$

- Korrelationslänge  $\xi^2 = \frac{\sum_{\vec{x}_i, \vec{x}_j} |\vec{x}_i - \vec{x}_j|^2 g(|\vec{x}_i - \vec{x}_j|)}{\sum_{\vec{x}_i} g(|\vec{x}_i - \vec{x}_j|)}$

mittlerer Abstand zweier Gitterpunkte die zum selben Cluster gehören

$$\xi^2 = \frac{\sum_S R_s^2 S^2 u_s}{\sum_S S^2 u_s}$$

$$\xi \sim |p - p_c|^{-\nu}$$

$$\xi^2 \sim \frac{\sum_s s^{2/D} s^2 n_s}{\sum_s s^2 n_s}$$

$$\sim \mathcal{O}^{-2/D} \sim |p - p_c|^{-\frac{2}{\nu D}}$$

$$\boxed{\nu = \frac{1}{\nu D}}$$

- Potenzgesetz:  $g(|\vec{x}|) \sim |\vec{x}|^{-(d-2+\eta)} e^{-|\vec{x}|/\xi}$

$$\chi = \sum_{\vec{x}} g(|\vec{x}|)$$

$$|p - p_c|^{-\chi} \approx \sum_{\vec{x}} \frac{e^{-|\vec{x}|/\xi}}{|\vec{x}|^{d-2+\eta}}$$

$$\sim \sum_{\vec{x}} |\vec{x}|^{-(d-2+\eta)}$$

$$\sim \sum_{\vec{x}} |\vec{x}|^{2-\eta}$$

$$\sim |p - p_c|^{-2+\eta/\nu}$$

$$; \xi \sim |p - p_c|^{-\nu}$$

$$\rightarrow \boxed{|\chi - \nu(2-\eta)|}$$

- Hyperscaling:  $\ln z \sim \xi^{-d}$  aus Dimensionsbetrachtung  
 $\sim |P - P_c|^{d\nu}$   
 $\sim |P - P_c|^{2-\alpha}$

$$\rightarrow \boxed{d\nu = 2 - \alpha}$$

$$\rightarrow \frac{d}{\sigma D} = \frac{\tau - 1}{\sigma}$$

$$\rightarrow \boxed{\tau = \frac{d}{D} + 1}$$

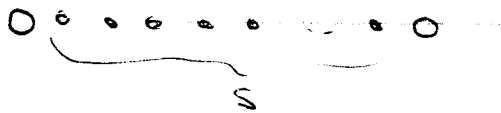
$$\frac{\beta}{\sigma} = \frac{\tau - 2}{\sigma} \cdot \nu D = \left(\frac{d}{D} - 1\right) D \nu = d - D\nu$$

$$\frac{\gamma}{\nu} = \frac{3 - \tau}{\sigma} \nu D = \left(2 - \frac{d}{D}\right) D \nu = 2 - \eta$$

$$\rightarrow \nu D = d + 2 - \eta$$

$$\eta = 0 : \boxed{D = \frac{1}{2}(d + 2)} \quad (\text{de-Gennes, vgl. Flory})$$

### Eindimensionales Gitter



$$n_s = p^s (1 - p)^2 \quad ; \quad p < 1$$

$\uparrow$   
 $s$   
 besetzte

$\uparrow$   
 $2$   
 unbesetzte

$\rightarrow$  im unendlichen System  
gibt es immer Löcher

$$P_c = 1$$

$$\sum_{s=0}^{\infty} s u_s \stackrel{?}{=} p \quad (p = p_c)$$

$$\begin{aligned} \sum_{s=1}^{\infty} s u_s &= (1-p)^2 \sum_{s=1}^{\infty} s p^s \\ &= (1-p)^2 \sum_{s=1}^{\infty} p \frac{d}{dp} p^s \\ &= (1-p)^2 p \frac{d}{dp} \sum p^s \\ &= (1-p)^2 p \frac{d}{dp} \left( \frac{p}{1-p} \right) = p. \quad \checkmark \end{aligned}$$

$$S \stackrel{?}{=} \frac{\sum s^2 u_s}{\sum s u_s} \quad (p < p_c)$$

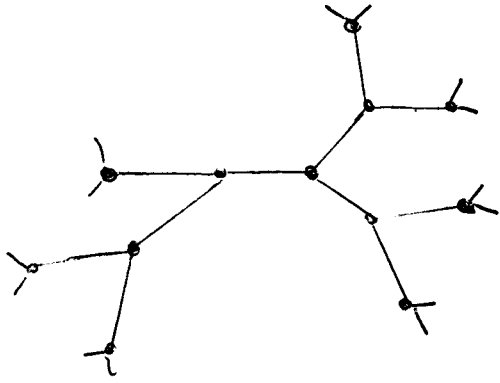
$$= \frac{1}{p} (1-p)^2 \sum s^2 p^s$$

$$= \frac{(1-p)^2}{p} \left( p \frac{d}{dp} \right)^2 \sum p^s$$

$$= \frac{1+p}{1-p}$$

tatsächlich divergent für  $p \rightarrow p_c$   $\checkmark$

# Ball- und Gitter



Gitterdimension ist  
unendlich  
(keine Schichten)

1. Generation: 3 Punkte
2. Generation: 6 Punkte
3. Generation: 12 Punkte

Eine Kugel mit  $r$  Generationen enthält

$$V(r) = 1 + 3(1 + 2 + 4 + \dots + 2^{r-1})$$

$$\rightarrow 1 + 2(1 + (2-1) + \dots + (2-1)^{r-1})$$

$$\begin{aligned} \rightarrow V(r) &= 1 + 2 \sum_{i=1}^r (2-1)^{i-1} \\ &= 1 + 2 \frac{(2-1)^r - 1}{(2-1) - 1} \end{aligned}$$

$$\rightarrow V(r) = \frac{2(2-1)^r}{2-2} - \frac{2}{2-2}$$

- die letzte Generation aus  $2(2-1)^{r-1}$  Punkte bildet die Oberfläche  $S(r)$

$$S(r) = 2(2-1)^{r-1}$$

$$\text{Für große } r: \frac{S(r)}{V(r)} = \frac{2-2}{2-1}$$

Perkulationsquelle:



Im Mittel:  $p(2-1)$  neu besetzte  
Nachbarn